

(12) 特許協力条約に基づいて公開された国際出願

(19) 世界知的所有権機関
国際事務局

(43) 国際公開日
2015年8月6日(06.08.2015)



(10) 国際公開番号

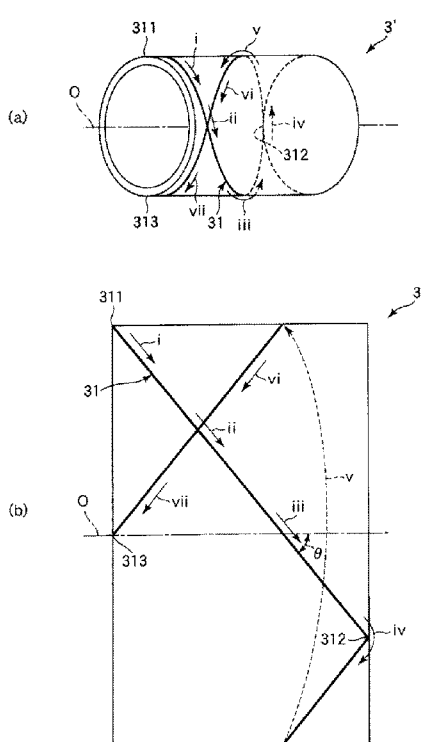
WO 2015/115138 A1

- (51) 国際特許分類:
A61M 1/36 (2006.01) *F28D 7/10* (2006.01)
A61M 1/18 (2006.01) *F28F 21/06* (2006.01)
- (21) 国際出願番号: PCT/JP2015/050244
- (22) 国際出願日: 2015年1月7日(07.01.2015)
- (25) 国際出願の言語: 日本語
- (26) 国際公開の言語: 日本語
- (30) 優先権データ:
特願 2014-018076 2014年1月31日(31.01.2014) JP
- (71) 出願人: テルモ株式会社(TERUMO KABUSHIKI KAISHA) [JP/JP]; 〒1510072 東京都渋谷区幡ヶ谷二丁目44番1号 Tokyo (JP).
- (72) 発明者: 斎藤喬(SAITO, Takashi); 〒2590151 神奈川県足柄上郡中井町井ノ口1500番地 テルモ株式会社内 Kanagawa (JP).
- (74) 代理人: 増田達哉(MASUDA, Tatsuya); 〒1050003 東京都港区西新橋1丁目18番9号 西新橋ノアビル4階 Tokyo (JP).
- (81) 指定国(表示のない限り、全ての種類の国内保護が可能): AE, AG, AL, AM, AO, AT, AU, AZ, BA, BB, BG, BH, BN, BR, BW, BY, BZ, CA, CH, CL, CN, CO, CR, CU, CZ, DE, DK, DM, DO, DZ, EC, EE, EG, ES, FI, GB, GD, GE, GH, GM, GT, HN, HR, HU, ID, IL, IN, IR, IS, JP, KE, KG, KN, KP, KR, KZ, LA, LC, LK, LR, LS, LU, LY, MA, MD, ME, MG, MK, MN, MW, MX, MY, MZ, NA, NG, NI, NO, NZ, OM, PA, PE, PG, PH, PL, PT, QA, RO, RS, RU, RW, SA, SC, SD, SE, SG, SK, SL, SM, ST, SV, SY, TH, TJ, TM, TN, TR, TT, TZ, UA, UG, US, UZ, VC, VN, ZA, ZM, ZW.
- (84) 指定国(表示のない限り、全ての種類の広域保護が可能): ARIPO (BW, GH, GM, KE, LR, LS, MW, MZ, NA, RW, SD, SL, ST, SZ, TZ, UG, ZM, ZW), ユーラシア (AM, AZ, BY, KG, KZ, RU, TJ, TM), ヨーロッパ (AL, AT, BE, BG, CH, CY, CZ, DE, DK, EE, ES, FI, FR, GB, GR, HR, HU, IE, IS, IT, LT, LU, LV, MC,

[続葉有]

(54) Title: METHOD FOR MANUFACTURING HEAT EXCHANGER AND HEAT EXCHANGER

(54) 発明の名称: 热交換器の製造方法および热交換器



(57) Abstract: Provided is a method for manufacturing a heat exchanger comprising a hollow fiber membrane layer obtained from a base material which is composed of numerous hollow fiber membranes having a hollow portion through which a heat medium passes and in which the numerous hollow fiber membranes are accumulated to form the general shape of a cylindrical body. This method comprises a winding step of winding each of the hollow fiber membranes about the axis of the cylindrical body while extending the hollow fiber membrane along an axis direction of the cylindrical body to obtain the base material, wherein in the winding step, each of the hollow fiber membranes is wound about the axis of the cylindrical body in a range of one circumferential revolution or more and less than two circumferential revolutions during one round trip of the hollow fiber membrane extending from one side toward another side of the axis of the cylindrical body and turning back at the other side to return to the one side.

(57) 要約: 热交換器の製造方法は、熱媒体が通過する中空部を有する多数本の中空糸膜で構成され、多数本の中空糸膜を集積して、全体形状として円筒体の形状をなす母材から得られた中空糸膜層を備える熱交換器を製造する方法である。この製造方法は、各中空糸膜をそれぞれ円筒体の軸方向に沿わせつつ、円筒体の軸回りに巻回して、母材を得る巻回工程を有し、巻回工程では、各中空糸膜がそれぞれ円筒体の軸方向の一方側から他方側に向かい、他方側で折り返して再度一方側に戻ってくる一往復の間に、中空糸膜を円筒体の軸回りに1周以上、2周未満の範囲内で巻回していく。

FIG.8



MK, MT, NL, NO, PL, PT, RO, RS, SE, SI, SK, SM, 添付公開書類:
TR), OAPI (BF, BJ, CF, CG, CI, CM, GA, GN, GQ, GW, — 国際調査報告 (条約第 21 条(3))
KM, ML, MR, NE, SN, TD, TG).

明 細 書

発明の名称：熱交換器の製造方法および熱交換器

技術分野

[0001] 本発明は、熱交換器の製造方法および熱交換器に関する。

背景技術

[0002] 従来から、多数本の中空糸膜で構成され、全体形状が円筒体形状をなす中空糸膜層を有する熱交換器が知られている。この円筒体形状をなす中空糸膜層には、特許文献1に記載の中空糸シートを適用することができる。特許文献1に記載の中空糸シートは、多数本の中空糸膜をほぼ平行に配置して横糸とし、これらを縦糸でつなぎ合わせて簾状にしたものである。そして、このような簾状の中空糸シートを円筒体形状にして中空糸膜層とすることができる。この場合、中空糸シートの各中空糸膜は、それぞれ、円筒体の中心軸とほぼ平行に配置される。

[0003] このような構成の中空糸膜層を有する熱交換器では、熱媒体が中空糸膜内を通過する際、その通過距離が、十分な熱交換を得るほど確保されていない。そこで、熱交換率を向上させるために、各中空糸膜を円筒体の中心軸回りに巻回して、その巻回回数を増やす必要がある。しかしながら、中空糸膜の巻回回数が多ければ多いほど、中空糸膜の全長が長くなり、それに比例して、当該中空糸膜内を通過する熱媒体の圧力損失が増大してしまうという問題があった。このため、熱交換率が低下するおそれがある。

[0004] また、簾状の中空糸シートを用いた熱交換器を人工肺に適用した場合、中空糸膜同士の間隙を血液が通過するよう構成することができる。

[0005] しかしながら、各中空糸膜の巻回回数が多ければ多いほど、中空糸膜同士の間隙の総容積が増大し、その結果、当該間隙を通過する血液の量、すなわち、血液充填量も増大してしまい、患者にとって負担が大きい。

先行技術文献

特許文献

[0006] 特許文献1：実用新案登録第2579299号公報

発明の概要

発明が解決しようとする課題

[0007] 本発明の目的は、熱交換率に優れ、その熱交換が行なわれる対象となる流体が中空糸膜同士の間を通過する際、当該流体の充填量を低減することができる熱交換器の製造方法および、かかる製造方法により製造された熱交換器を提供することにある。

課題を解決するための手段

[0008] このような目的は、下記（1）～（10）の本発明により達成される。

（1） 热媒体が通過する中空部を有する多数本の中空糸膜で構成され、該多数本の中空糸膜を集積して、全体形状として円筒体の形状をなす母材から得られた中空糸膜層を備える熱交換器を製造する方法であって、

前記各中空糸膜をそれぞれ前記円筒体の軸方向に沿わせつつ、前記円筒体の軸回りに巻回して、前記母材を得る巻回工程を有し、

前記巻回工程では、前記各中空糸膜がそれぞれ前記円筒体の軸方向の一方側から他方側に向かい、該他方側で折り返して再度前記一方側に戻ってくる一往復の間に、当該中空糸膜を前記円筒体の軸回りに1周以上、2周未満の範囲内で巻回していくことを特徴とする熱交換器の製造方法。

[0009] （2） 前記巻回工程では、下記式を満足するように前記中空糸膜を巻回する上記（1）に記載の熱交換器の製造方法。

[0010] [数1]

$$\text{トラバース [mm/rot]} \times N = \text{トラバース振り幅} \times 2 \\ \pm (\text{中空糸膜の外径} + \text{隣接する中空糸膜同士の間隔}) \times \text{中空糸膜の総本数} \\ (\text{但し、式中、} N \text{は、} 1 \leq N < 2 \text{を満足する})$$

[0011] （3） 前記Nは、 $1.2 \leq N \leq 1.6$ を満足する上記（2）に記載の熱交換器の製造方法。

[0012] （4） 前記往復は、複数回繰り返される上記（1）ないし（3）のいずれかに記載の熱交換器の製造方法。

[0013] (5) 前記巻回工程では、前記各中空糸膜が前記他方側で折り返す際に、その折り返し部を固定する上記(1)ないし(4)のいずれかに記載の熱交換器の製造方法。

[0014] (6) 前記折り返し部の固定には、可撓性を有する線状体または帯状体により前記折り返し部を押さえ付けて固定する方法、前記折り返し部を加熱溶融して固定する方法、粘着剤により固定する方法のうちの少なくとも1つの方法を用いる上記(5)に記載の熱交換器の製造方法。

[0015] (7) 前記母材の両端部をそれぞれ切斷して、前記中空糸膜層を得る切斷工程を有し、

前記母材の両端部には、前記巻回工程で固定された前記折り返し部が含まれており、

前記切斷工程では、前記母材から前記折り返し部が除去される上記(5)または(6)に記載の熱交換器の製造方法。

[0016] (8) 前記中空糸膜は、ポリオレフィン系樹脂で構成されている上記(1)ないし(7)のいずれかに記載の熱交換器の製造方法。

[0017] (9) 前記中空糸膜は、その外径が1mm以下のものである上記(1)ないし(8)のいずれかに記載の熱交換器の製造方法。

[0018] (10) 上記(1)ないし(9)のいずれか1項に記載の熱交換器の製造方法によって製造されたことを特徴とする熱交換器。

発明の効果

[0019] 本発明によれば、一往復する間の各中空糸膜の全長をできる限り短くすることができる。これにより、中空糸膜層は、各中空糸膜の中空部を通過する熱媒体の圧力損失が低減され、よって、熱交換率に優れたものとなる。

[0020] また、熱媒体の圧力損失が低減された分、中空糸膜の径をできる限り小さくすることができる、すなわち、中空糸膜の細径化を図ることができる。これにより、中空糸膜層での容積を削減することができ、よって、熱交換が行なわれる対象となる流体の充填量を低減することができる。

図面の簡単な説明

[0021] [図1]図1は、本発明の熱交換器の製造方法（第1実施形態）によって製造された熱交換器を適用した人工肺の平面図である。

[図2]図2は、図1に示す人工肺を矢印A方向から見た図である。

[図3]図3は、図2中のB-B線断面図である。

[図4]図4は、図2中の矢印C方向から見た図である。

[図5]図5は、図1中のD-D線断面図である。

[図6]図6は、図5中のE-E線断面図である。

[図7]図7は、本発明の熱交換器の製造方法で用いられる装置を示す図である。

[図8]図8は、図7に示す製造装置で得られた母材を示す図（（a）が斜視図、（b）が展開図）である。

[図9]図9は、図8に示す母材における中空糸膜の固定状態を示す図である。

[図10]図10は、図8に示す母材を切断する工程を順に示す図である。

[図11]図11は、本発明の熱交換器の製造方法で得られた母材の他の構成を示す図（（a）が斜視図、（b）が展開図）である。

[図12]図12は、本発明の熱交換器の製造方法（第2実施形態）で得られた母材における中空糸膜の固定状態を示す図である。

[図13]図13は、本発明の熱交換器の製造方法（第3実施形態）で得られた母材における中空糸膜の固定状態を示す図である。

[図14]図14は、本発明の熱交換器の製造方法（第4実施形態）で得られた母材における中空糸膜の固定状態を示す図である。

[図15]図15は、本発明の熱交換器の製造方法（第5実施形態）で得られた母材における中空糸膜の固定状態を示す図ある。

[図16]図16は、従来の巻回状態で巻回された中空糸膜で構成された母材を示す図（（a）が斜視図、（b）が展開図）である。

発明を実施するための形態

[0022] 以下、本発明の熱交換器の製造方法および熱交換器を添付図面に示す好適な実施形態に基づいて詳細に説明する。

[0023] <第1実施形態>

図1は、本発明の熱交換器の製造方法（第1実施形態）によって製造された熱交換器を適用した人工肺の平面図である。図2は、図1に示す人工肺を矢印A方向から見た図である。図3は、図2中のB-B線断面図である。図4は、図2中の矢印C方向から見た図である。図5は、図1中のD-D線断面図である。図6は、図5中のE-E線断面図である。図7は、本発明の熱交換器の製造方法で用いられる装置を示す図である。図8は、図7に示す製造装置で得られた母材を示す図（（a）が斜視図、（b）が展開図）である。図9は、図8に示す母材における中空糸膜の固定状態を示す図である。図10は、図8に示す母材を切断する工程を順に示す図である。図16は、従来の巻回状態で巻回された中空糸膜で構成された母材を示す図（（a）が斜視図、（b）が展開図）である。

[0024] なお、図1、図3、図4および図7～図10中（図11および図16についても同様）の左側を「左」または「左方（一方）」、右側を「右」または「右方（他方）」という。また、図1～図6中（図11および図16についても同様）、人工肺の内側を「血液流入側」または「上流側」、外側を「血液流出側」または「下流側」として説明する。

[0025] 図1～図5に示す人工肺10は、全体形状がほぼ円柱状をなしている。この人工肺10は、内側に設けられ、血液に対し熱交換を行う熱交換部10Bと、熱交換部10Bの外周側に設けられ、血液に対しガス交換を行うガス交換部としての人工肺部10Aと備える熱交換器付き人工肺である。人工肺10は、例えば血液体外循環回路中に設置して用いられる。

[0026] 人工肺10は、ハウジング2Aを有しており、このハウジング2A内に人工肺部10Aと熱交換部10Bとが収納されている。

[0027] ハウジング2Aは、円筒状ハウジング本体21Aと、円筒状ハウジング本体21Aの左端開口を封止する皿状の第1の蓋体22Aと、円筒状ハウジング本体21Aの右端開口を封止する皿状の第2の蓋体23Aとで構成されている。

- [0028] 円筒状ハウジング本体21A、第1の蓋体22Aおよび第2の蓋体23Aは、樹脂材料で構成されている。円筒状ハウジング本体21Aに対し、第1の蓋体22Aおよび第2の蓋体23Aは、融着や接着剤による接着等の方法により固着されている。
- [0029] 円筒状ハウジング本体21Aの外周部には、管状の血液流出ポート28が形成されている。この血液流出ポート28は、円筒状ハウジング本体21Aの外周面のほぼ接線方向に向かって突出している（図5参照）。
- [0030] 第1の蓋体22Aには、管状のガス流出ポート27が突出形成されている。
また、血液流入ポート201は、その中心軸が第1の蓋体22Aの中心に對し偏心するように、第1の蓋体22Aの端面から突出している。
- [0031] ガス流出ポート27は、その中心軸が第1の蓋体22Aの中心と交差するように、第1の蓋体22Aの外周部に形成されている（図2参照）。
- [0032] 第2の蓋体23Aには、管状のガス流入ポート26、熱媒体流入ポート202および熱媒体流出ポート203が突出形成されている。ガス流入ポート26は、第2の蓋体23Aの端面の縁部に形成されている。熱媒体流入ポート202および熱媒体流出ポート203は、それぞれ、第2の蓋体23Aの端面のほぼ中央部に形成されている。また、熱媒体流入ポート202および熱媒体流出ポート203の中心線は、それぞれ、第2の蓋体23Aの中心線に対してやや傾斜している。
- [0033] なお、本発明において、ハウジング2Aの全体形状は、必ずしも完全な円柱状をなしている必要はなく、例えば一部が欠損している形状、異形部分が付加された形状などでもよい。
- [0034] 図3、図5に示すように、ハウジング2Aの内部には、その内周面に沿った円筒状をなす人工肺部10Aが収納されている。人工肺部10Aは、円筒状の中空糸膜層3Aと、中空糸膜層3Aの外周側に設けられた気泡除去手段4Aとしてのフィルタ部材41Aとで構成されている。中空糸膜層3Aとフィルタ部材41Aとは、血液流入側から、中空糸膜層3A、フィルタ部材4

1 A の順に配置されている。

[0035] また、人工肺部 10 A の内側には、その内周面に沿った円筒状をなす熱交換部 10 B が設置されている。熱交換部 10 B は、中空糸膜層 3 B を有している。

[0036] 図 6 に示すように、中空糸膜層 3 A および 3 B は、それぞれ、多数本の中空糸膜 3 1 で構成され、これらの中空糸膜 3 1 を層状に集積して積層させてなるものである。積層数は、特に限定されないが、例えば、3 ~ 40 層が好ましい。なお、中空糸膜層 3 A の各中空糸膜 3 1 は、それぞれ、ガス交換機能を有するものである。一方、中空糸膜層 3 B の各中空糸膜 3 1 は、それぞれ、熱交換を行なう機能を有するものである。

[0037] 図 3 に示すように、中空糸膜層 3 A および 3 B は、それぞれ、両端部が隔壁 8 および 9 により円筒状ハウジング本体 21 A の内面に対し一括して固定されている。隔壁 8、9 は、例えば、ポリウレタン、シリコーンゴム等のポッティング材や接着剤等により構成されている。さらに、中空糸膜層 3 B は、その内周部が、第 1 の円筒部材 24 1 の外周部に形成された凹凸部 24 4 に係合している。この係合と隔壁 8 および 9 による固定により、中空糸膜層 3 B が円筒状ハウジング本体 21 A に確実に固定され、よって、人工肺 10 の使用中に中空糸膜層 3 B の位置ズレが生じるのを確実に防止することができる。また、凹凸部 24 4 は、中空糸膜層 3 B 全体に血液 B を巡らせるための流路としても機能する。

[0038] なお、図 5 に示すように、中空糸膜層 3 A の最大外径 $\phi D_{1_{max}}$ は、20 ~ 200 mm であるのが好ましく、40 ~ 150 mm であるのがより好ましい。中空糸膜層 3 B の最大外径 $\phi D_{2_{max}}$ は、10 ~ 150 mm であるのが好ましく、20 ~ 100 mm であるのがより好ましい。また、図 3 に示すように、中空糸膜層 3 A および 3 A の中心軸方向に沿った長さ L は、30 ~ 250 mm であるのが好ましく、50 ~ 200 mm であるのがより好ましい。このような条件を有することにより、中空糸膜層 3 A は、ガス交換機能に優れたものとなり、中空糸膜層 3 B は、熱交換機能に優れたものとなる。

- [0039] ハウジング2A内の隔壁8と隔壁9との間における各中空糸膜31の外側、すなわち、中空糸膜31同士の隙間には、血液Bが図6中の上側から下側に向かって流れる血液流路33が形成されている。
- [0040] 血液流路33の上流側には、血液流入ポート201から流入した血液Bの血液流入部として、血液流入ポート201に連通する血液流入側空間24Aが形成されている（図3、図5参照）。
- [0041] 血液流入側空間24Aは、円筒状をなす第1の円筒部材241と、第1の円筒部材241の内側に配置され、その内周部の一部に対向して配置された板片242とで画成された空間である。そして、血液流入側空間24Aに流入した血液Bは、第1の円筒部材241に形成された複数の側孔243を介して、血液流路33全体にわたって流下することができる。
- [0042] また、第1の円筒部材241の内側には、当該第1の円筒部材241と同心的に配置された第2の円筒部材245が配置されている。そして、図3に示すように、熱媒体流入ポート202から流入した例えは水等の熱媒体Hは、第1の円筒部材241の外周側にある中空糸膜層3Bの各中空糸膜31の流路（中空部）32、第2の円筒部材245の内側を順に通過して、熱媒体流出ポート203から排出される。また、熱媒体Hが各中空糸膜31の流路32を通過する際に、血液流路33内で、当該中空糸膜31に接する血液Bとの間で熱交換（加温または冷却）が行われる。
- [0043] 血液流路33の下流側においては、血液流路33を流れる血液B中に存在する気泡を捕捉する機能を有するフィルタ部材41Aが配置されている。
- [0044] フィルタ部材41Aは、ほぼ長方形をなすシート状の部材（以下単に「シート」とも言う）で構成され、そのシートを中空糸膜層3Aの外周に沿って巻回して形成したものである。フィルタ部材41Aも、両端部がそれぞれ隔壁8、9で固着されており、これにより、ハウジング2Aに対し固定されている（図3参照）。なお、このフィルタ部材41Aは、その内周面が中空糸膜層3Aの外周面に接して設けられ、該外周面のほぼ全面を覆っているのが好ましい。

- [0045] また、フィルタ部材41Aは、血液流路33を流れる血液中に気泡が存在していたとしても、その気泡を捕捉することができる（図6参照）。また、フィルタ部材41Aにより捕捉された気泡は、血流によって、フィルタ部材41A近傍の各中空糸膜31内に押し込まれて入り込み、その結果、血液流路33から除去される。
- [0046] また、フィルタ部材41Aの外周面と円筒状ハウジング本体21Aの内周面との間には、円筒状の隙間が形成され、この隙間は、血液流出側空間25Aを形成している。この血液流出側空間25Aと、血液流出側空間25Aに連通する血液流出ポート28とで、血液流出部が構成される。血液流出部は、血液流出側空間25Aを有することにより、フィルタ部材41Aを透過した血液Bが血液流出ポート28に向かって流れる空間が確保され、血液Bを円滑に排出することができる。
- [0047] 図3に示すように、第1の蓋体22Aの内側には、円環状をなすリブ291が突出形成されている。そして、第1の蓋体22Aとリブ291と隔壁8により、第1の部屋221aが画成されている。この第1の部屋221aは、ガスGが流出するガス流出室である。中空糸膜層3Aの各中空糸膜31の左端開口は、第1の部屋221aに開放し、連通している。人工肺10では、ガス流出ポート27および第1の部屋221aによりガス流出部が構成される。一方、第2の蓋体23Aの内側にも、円環状をなすリブ292が突出形成されている。そして、第2の蓋体23Aとリブ292と隔壁9とにより、第2の部屋231aが画成されている。この第2の部屋231aは、ガスGが流入してくるガス流入室である。中空糸膜層3Aの各中空糸膜31の右端開口は、第2の部屋231aに開放し、連通している。人工肺10では、ガス流入ポート26および第2の部屋231aによりガス流入部が構成される。
- [0048] ここで、本実施形態の人工肺10における血液の流れについて説明する。この人工肺10では、血液流入ポート201から流入した血液Bは、血液流入側空間24A、側孔243を順に通過して、熱交換部10Bに流れ込む

。熱交換部10Bでは、血液Bは、血液流路33を下流方向に向かって流れつつ、熱交換部10Bの各中空糸膜31の表面と接触して熱交換（加温または冷却）がなされる。このようにして熱交換がなされた血液Bは、人工肺部10Aに流入する。

[0049] そして、人工肺部10Aでは、血液Bは、血液流路33をさらに下流方向に向かって流れる。一方、ガス流入ポート26から供給されたガス（酸素を含む気体）は、第2の部屋231aから人工肺部10Aの各中空糸膜31の流路32に分配され、該流路32を流れた後、第1の部屋221aに集積され、ガス流出ポート27より排出される。血液流路33を流れる血液Bは、人工肺部10Aの各中空糸膜31の表面に接触し、流路32を流れるガスGとの間でガス交換、すなわち、酸素加、脱炭酸ガスがなされる。

[0050] ガス交換がなされた血液B中に気泡が混入している場合、この気泡は、フィルタ部材41Aにより捕捉され、フィルタ部材41Aの下流側に流出するのが防止される。

[0051] 以上のようにして熱交換、ガス交換が順になされ、さらに気泡が除去された血液Bは、血液流出ポート28より流出する。

[0052] 前述したように、中空糸膜層3Aおよび3Bは、いずれも、多数本の中空糸膜31で構成されたものである。中空糸膜層3Aと中空糸膜層3Bとは、用途が異なること以外は、同じ中空糸膜31を有するため、以下、中空糸膜層3Bについて代表的に説明する。

[0053] 中空糸膜31の内径 ϕd_1 は、 $50\text{ }\mu\text{m} \sim 700\text{ }\mu\text{m}$ であるのが好ましく、 $70\text{ }\mu\text{m} \sim 600\text{ }\mu\text{m}$ であるのがより好ましい（図6参照）。中空糸膜31の外径 ϕd_2 は、 $100\text{ }\mu\text{m} \sim 1\text{ mm}$ であるのが好ましく、 $120\text{ }\mu\text{m} \sim 800\text{ }\mu\text{m}$ であるのがより好ましい（図6参照）。さらに、内径 ϕd_1 と外径 ϕd_2 との比 d_1/d_2 は、 $0.5 \sim 0.9$ あるのが好ましく、 $0.6 \sim 0.8$ であるのがより好ましい。このような条件を有する各中空糸膜31では、自身の強度を保つつつ、当該中空糸膜31の中空部である流路32に熱媒体Hを流すときの圧力損失を比較的小さくするとともに、その他、中空

糸膜3 1の巻回状態を維持するのに寄与する。例えば、内径 ϕd_1 が前記上限値よりも大きいと、中空糸膜3 1の厚さが薄くなり、他の条件によっては、強度が低下する。また、内径 ϕd_1 が前記下限値よりも小さいと、他の条件によっては、中空糸膜3 1に熱媒体Hを流すときの圧力損失が大きくなる。

[0054] また、隣り合う中空糸膜3 1同士の距離は、 ϕd_2 の1／10～1／1であるのがより好ましい。

[0055] このような中空糸膜3 1の製造方法は、特に限定されないが、例えば、押出成形を用いた方法が挙げられる。この方法により、所定の内径 ϕd_1 および外径 ϕd_2 を有する中空糸膜3 1を製造することができる。なお、中空糸膜層3 Aを構成する中空糸膜3 1の製造方法は、延伸法または固液相分離法を用いた方法が挙げられる。

[0056] 各中空糸膜3 1の構成材料としては、例えば、ポリプロピレン、ポリエチレン、ポリスルホン、ポリアクリロニトリル、ポリテトラフルオロエチレン、ポリメチルペンテン等の疎水性高分子材料が用いられ、好ましくは、ポリオレフィン系樹脂であり、より好ましくは、ポリプロピレンである。このような樹脂材料を選択することは、中空糸膜3 1の巻回状態を維持するのに寄与とともに、製造時の低コスト化にも寄与する。

[0057] そして、中空糸膜層3 Bは、このような中空糸膜3 1を、全体形状として円筒体の形状をなすように巻回した母材3'から得られる。この母材3'は、本発明の製造方法の製造途中で製造されるものである。

[0058] 本製造方法は、人工肺10を製造する方法であり、第1の工程と、第2の工程と、第3の工程と、第4の工程と、第5の工程と、第6の工程とを有している。次に、これについて説明する。

[0059] [1] 第1の工程

第1の工程は、図8に示すように、多数本の中空糸膜3 1を全体形状として円筒体の形状をなすように巻回する巻回工程であり、これにより、母材(一次母材)3'を得る。なお、図8中(図10についても同様)では、1本の中空糸膜8 1が代表的に描かれている。

- [0060] この第1の工程では、図7に示す巻回装置60を用いる。巻回装置60は、筒状コア回転手段601と、ワインダ装置602と、固定装置600とを備える。
- [0061] 筒状コア回転手段601は、モータ603と、モータシャフト604と、モータシャフト604に固定されたコア取付部材605を備える。人工肺10のハウジング2Aの一部である第1の円筒部材241は、コア取付部材605に取り付けられ、モータ603により回転される。
- [0062] ワインダ装置602は、内部に中空糸膜31を収納する収納部を備える本体部606と、中空糸膜31を吐出するとともに本体部606の軸方向（図7中の左右方向）に移動する吐出部705を備えている。さらに、本体部606は、リニアレール607上を移動するリニアテーブル608およびボールナット部材704に固定されている。ボールナット部材704は、モータ703の駆動により、ボールネジシャフト609が回転することにより、本体部606の軸方向と平行に移動可能となっている。モータ703は、正逆回転可能であり、図示しないコントローラにより、駆動が調整される。
- [0063] 固定装置600は、第1の円筒部材241に巻回された中空糸膜31を固定する固定用糸（線状体）11を収納する収納部を備える本体部706と、第1の円筒部材241の両端部に向かって固定用糸11を吐出する吐出部707とを備えている。そして、中空糸膜31に対して固定用糸11による固定を行なうときには、吐出部707から吐出された固定用糸11が、回転中の第1の円筒部材241上にある中空糸膜31に巻き付けられ、その固定がなされる。固定後は、その固定に供された固定用糸11が、カッター（図示せず）によって固定装置600から切断される。
- [0064] また、固定用糸11は、可撓性を有し、例えば、ポリアミド（例：ナイロン6、ナイロン46、ナイロン66、ナイロン610、ナイロン612、ナイロン11、ナイロン12、ナイロン6-12、ナイロン6-66）等のような熱可塑性樹脂や、ステンレス鋼等のような金属材料で構成されている。これにより、固定に適した張力で中空糸膜31を固定することができる。

[0065] 以上のような構成の巻回装置60を用いて第1の工程を行なう。以下では、1本の中空糸膜31について代表的に説明する。

[0066] 図7、図8に示すように、第1の工程では、中空糸膜31を第1の円筒部材241（円筒体）の中心軸O方向に沿わせつつ、中心軸O回りに巻回していく。その際、中空糸膜31は、中心軸O方向の左側の始点311から巻回が開始され、右側に向かう。右側では、中空糸膜31は、折り返し点312で折り返される。その後、中空糸膜31は、再度左側に戻って終点313に至る。このように、中空糸膜31は、図8中の矢印*i*→*ii*→*iii*→*iv*→*v*→*vi*→*vii*の順に巻回されていく。そして、この一往復の間に、図8に示すように、中空糸膜31は、所定の周回数Nで巻回される。本実施形態では、N=1.5であり、中空糸膜31は、一往復する間に、中心軸O回りに1.5周する。これを「0.75ワインド」という。

[0067] 本発明では、周回数Nの範囲は、1周以上、2周未満の範囲であり、好ましくは1周超え、2周未満の範囲であり、より好ましくは1.2周以上、1.6以下の範囲である。従って、周回数Nは、1を超えて、2未満の範囲内でも、小数を有する実数であるのが好ましい。なお、周回数Nの範囲「1周以上、2周未満」を単位「ワインド」を用いて表現すると、0.5ワインド以上、1ワインド未満となる。

[0068] また、図8（b）に示すように、中空糸膜31は、中心軸Oに対して傾斜することとなり、その傾斜角度（綾角）θとしては、例えば、40°以上、70°以下であるのが好ましく、45°以上、64°以下であるのがより好ましい。40°未満であると、母材3'端部において、中空糸膜31に対してより強固な固定が必要となり、母材3'の製造が困難となる可能性がある。また、70°を超えると、中空糸膜31の全長が過剰に長くなり、熱媒体Hの圧力損失が増大する。

[0069] また、傾斜角度（綾角）θは巻回数の増加に伴い変化する。巻回される円筒部材の外径寸法や必要な巻回数（伝熱面積）などによっては巻回始めと終わりの綾角変化率が大きいものとなる。これは1つの熱交換器における中空

糸全長のばらつきにもつながるため、性能安定化のためにはワインダ装置にてトラバース幅を可変させる、またはワインド数を適宜可変せるなどで綾角が制御されることが望ましい。後述する本実施例における変化率は8%程度であったがこの度合いであれば熱交換性能への影響等は無いことが確認されている。なお、本発明に係る巻回される中空糸膜31の全長はおよそ2000mとされるが、これに限らず、中空糸膜31の外径など条件や状況によって全長は異なるものである。

[0070] また、母材3'には、図8に示す構成のものその他に、例えば、図11に示す構成のものであってもよい。この図11に示す母材3'では、中空糸膜31は、図11中の矢印i→ii→iii→iv→vの順に巻回されていく。そして、この一往復の間に、中空糸膜31は、中心軸O回りに1周しており、「0.5ワインド」となっている。

[0071] ところで、従来の人工肺には、例えば図16に示す母材300から得られた中空糸膜層を有するものがある。母材300では、中空糸膜31は、図16中の矢印i→ii→iii→iv→v→vi→viiの順に巻回されており、一往復する間に中心軸O回りに2周する。これを「1ワインド」という。この場合、中空糸膜31の周回数Nは、図8の場合に比べて多く、すなわち、前述した周回数Nの範囲から外れており、一往復当たりの中空糸膜31の全長が長くなる。その結果、中空糸膜31内を通過する熱媒体Hの圧力損失が増大して、中空糸膜層での熱交換率が低下する。また、熱媒体Hの圧力損失が増大すると、中空糸膜31の径の増大にもつながり、ひいては、中空糸膜層での容積も増大してしまう。この場合、血液充填量の増大を招き、患者にとっては負担となる。

[0072] しかしながら、前述したように、本発明では、中空糸膜31は、一往復する間に中心軸O回りに1.5周する。そして、前記従来との差の分だけ、中空糸膜31の全長が短くなる。これにより、中空糸膜層3Bは、中空糸膜31内を通過する熱媒体Hの圧力損失が低減され、よって、熱交換率に優れたものとなる。また、中空糸膜31の全長が短い分、隣接する中空糸膜31同

士の間隔の容積も減少し、当該間隔を血液流路33として通過する血液Bの充填量も低減することができる。

- [0073] また、中空糸膜層3Bでは、中空糸膜31が前記のように巻回されにより、中空糸膜31の配設密度をできる限り高く設定することができたり、中空糸膜31の外径 ϕd_2 を前記範囲内でできる限り小さく設定することができる。高配設密度により、中空糸膜31の本数が増大し、よって、熱交換率が向上する。また、細径化により、中空糸膜層3B内を通過する血液Bをできる限り細かく分岐させることができ、よって、血液Bの中空糸膜31に接触する機会が増大する。これによっても熱交換率が向上する。さらに、細径化により、人工肺10の小型化を図ることができる。
- [0074] また、中空糸膜31を巻回するという簡単な製造方法により、中空糸膜層3Bを容易かつ確実に得ることができる。
- [0075] また、中空糸膜31は、前述したように押出成形で連続成形可能である。この方法は、大量生産向きであり、製造コストも抑制することができる。
- [0076] 前述したように、中空糸膜31は、始点311、折り返し点312、終点313を経由して一往復しており、その往復は、複数回繰り返されている。これにより、中空糸膜31を第1の円筒部材241に向けて連続して供給することができる。よって、中空糸膜層3Bの製造を迅速に行なうことができ、製造時間を短縮して、コストを抑えることができる。
さらに、巻回装置60は、下記式(1)を満足するように作動する。

- [0077] [数2]

$$\text{トラバース [mm/rot]} \times N = \text{トラバース振り幅} \times 2 \\ \pm (\text{中空糸膜の外径} + \text{隣接する中空糸膜同士の間隔}) \times \text{中空糸膜の総本数} \\ (\text{但し、式中、} N \text{は、} 1 \leq N < 2 \text{を満足する})$$

· · · (1)

- [0078] ここで、「トラバース」とは、第1の円筒部材241が中心軸O回りに1回転したときの中空糸膜31の移動量である。「トラバース振り幅」とは、

吐出部 705 の移動量である。

[0079] 式（1）を満足することにより、中空糸膜 31 同士の間隙を制御しながら並べて配置させることができ、中空糸膜層 3B を好適に形成することができる（図 9（b）参照）。

[0080] 図 9 に示すように、中空糸膜 31 は、折り返し点 312 で折り返す際に、その折り返し点 312 付近（折り返し部）が固定される。この固定は、巻回装置 60 の固定装置 600 から供給された固定用糸 11 で前記折り返し部を押さえ付けることにより行なわれる。これにより、中空糸膜 31 は、折り返し点 312 で確実に折り返され、よって、確実に往復することができ、その状態が維持される。なお、後述するように、この固定用糸 11 は、母材 3' ではそのまま残るが、中空糸膜層 3B では除去される。

[0081] また、本明細書で特許文献として挙げた「実用新案登録第 2579299 号公報」に記載の中空糸シートでは、中空糸膜を束ねるための縦糸が必要であった。この縦糸は、血栓等を誘発する原因となる。しかしながら、本発明では、固定用糸 11 により中空糸膜 31 の巻回状態が維持されるため、縦糸を省略することができ、よって、血栓等が生じるのを防止することができる。

[0082] [2] 第 2 の工程

第 2 の工程は、母材 3' 上に、中空糸膜層 3A となる中空糸膜 31 をさらに巻回する巻回工程である。これにより、図 10（a）に示すような二次母材 3'' が得られる。

[0083] この第 2 の工程では、巻回装置 60 がそのまま用いられ、第 1 の工程と同様の巻回態様で中空糸膜 31 を巻回する。

[0084] 第 2 の工程が完了した後、二次母材 3'' を第 1 の円筒部材 241 ごと巻回装置 60 から取り外す。

[0085] [3] 第 3 の工程

第 3 の工程は、二次母材 3'' にフィルタ部材 41A を巻き付けて固定し、当該二次母材 3'' を第 1 の円筒部材 241 とともに円筒状ハウジング本

体21Aに収納する収納工程である。

[0086] [4] 第4の工程

第4の工程は、二次母材3'’を円筒状ハウジング本体21Aに対し固定する固定工程である。二次母材3'’の固定には、ポッティング材50が用いられ、当該ポッティング材50は、隔壁8、9となる。

[0087] この固定を行なうには、まず、円筒状ハウジング本体21A内の二次母材3'’の両端部に向けて、ポッティング材50の構成材料である液状のポリウレタンを供給する。次いで、円筒状ハウジング本体21Aごと遠心分離器にかけ、その後、液状のポリウレタンを乾燥させる。これにより、二次母材3'’の両端部がポッティング材50で固定された状態となる(図10(a)参照)。なお、二次母材3'’の両端部には、第1の工程で固定用糸11により固定された折り返し点312や、始点311、終点313も含まれている。

[0088] [5] 第5の工程

第5の工程は、図10に示すように、ポッティング材50で固定された二次母材3'’の両端部をそれぞれ切断する切断工程である。これにより、中空糸膜層3Aおよび中空糸膜層3Bが一括して得られる。

[0089] この第5の工程では、図10に示す切断装置80を用いる。切断装置80は、2つのカッター(刃物)801を有する。そして、各カッター801を二次母材3'’に接近させることにより、当該二次母材3'’の両端部が切断される。なお、切断装置80としては、カッター801を有する構成のものに限定されず、例えば、ウォータージェットを噴射する構成のもの、レーザ光を照射する構成のものであってもよい。

[0090] 図10(a)に示すように、二次母材3'’のポッティング材50で固定された部分のうち、左端部では、固定用糸11よりも右側の部分に第1の切断線351を設定し、右端部でも、固定用糸11よりも左側の部分に第2の切断線352を設定する。

[0091] そして、切断装置80のカッター801を用いて、二次母材3'’を第1

の切断線351、第2の切断線352に沿って切断する。これにより、図10(b)に示すように、二次母材3'は、3つの部材に分割され、中央に位置する部材が中空糸膜層3Aおよび中空糸膜層3Bとなる。なお、両端の部材は、それぞれ、破棄される。

[0092] また、この切断により、中空糸膜層3B(中空糸膜層3Aについても同様)は、折り返し点312も除去されたものとなる。これにより、中空糸膜層3Bを構成する各中空糸膜31の両端がそれぞれ開口し、当該中空糸膜31内を熱媒体Hが通過することができる。なお、中空糸膜層3Aでは、各中空糸膜31内をガスGが通過することができる。

[0093] [6] 第6の工程

第6の工程は、円筒状ハウジング本体21Aに第1の蓋体22A、第2の蓋体23Aをそれぞれ装着する装着工程である。

[0094] この装着を行なうことにより、人工肺10が得られる。なお、装着後、例えば接着剤等により、第1の蓋体22A、第2の蓋体23Aをそれぞれ円筒状ハウジング本体21Aに固定してもよい。

[0095] <第2実施形態>

図12は、本発明の熱交換器の製造方法(第2実施形態)で得られた母材における中空糸膜の固定状態を示す図である。

[0096] 以下、この図を参照して本発明の熱交換器の製造方法および熱交換器の第2実施形態について説明するが、前述した実施形態との相違点を中心に説明し、同様の事項はその説明を省略する。

[0097] 本実施形態は、中空糸膜に対する固定方法が異なること以外は前記第1実施形態と同様である。

[0098] 図12に示すように、本実施形態では、中空糸膜31の折り返し点312の固定に、可撓性を有する固定用帶(帶状体)11Aを用いる。この固定用帶11Aは、固定用糸11よりも幅が広いものである。この固定用帶11Aにより、中空糸膜31の折り返し点312付近を押さえ付けた際、当該中空糸膜31との接触面積が増大し、よって、固定がより確実に行なわれる。

[0099] 固定用帶 11A の構成材料としては、特に限定されず、例えば、ポリエチレン等の樹脂材料を用いることができる。

[0100] <第3実施形態>

図 13 は、本発明の熱交換器の製造方法（第3実施形態）で得られた母材における中空糸膜の固定状態を示す図である。

[0101] 以下、この図を参照して本発明の熱交換器の製造方法および熱交換器の第3実施形態について説明するが、前述した実施形態との相違点を中心に説明し、同様の事項はその説明を省略する。

[0102] 本実施形態は、中空糸膜に対する固定方法が異なること以外は前記第1実施形態と同様である。

[0103] 図 13 に示すように、本実施形態では、中空糸膜 31 の折り返し点 312 付近の固定は、次のように行なわれる。

[0104] まず、ドライヤ 12 を用意する。このドライヤ 12 の排気口 121 を折り返し点 312 付近に向けて、排気口 121 からの熱風を当てる。これにより、折り返し点 312 付近が加熱軟化されて第 1 の円筒部材 241 との接触面積が増大する。よって、折り返し点 312 付近と第 1 の円筒部材 241 と摩擦力も増大して、中空糸膜 31 の固定がなされる。

[0105] このように本実施形態では、人工肺 10 に、中空糸膜 31 を固定するための部材が別途設けられるのが省略される。これにより、人工肺 10 の構成が簡単となり、人工肺 10 の小型化を図ることができる。

なお、中空糸膜 31 を固定用糸 11 で固定してもよい。

[0106] <第4実施形態>

図 14 は、本発明の熱交換器の製造方法（第4実施形態）で得られた母材における中空糸膜の固定状態を示す図である。

[0107] 以下、この図を参照して本発明の熱交換器の製造方法および熱交換器の第4実施形態について説明するが、前述した実施形態との相違点を中心に説明し、同様の事項はその説明を省略する。

[0108] 本実施形態は、中空糸膜に対する固定方法が異なること以外は前記第1実

施形態と同様である。

[0109] 図14に示すように、本実施形態では、中空糸膜31の折り返し点312の固定に、両面粘着テープ11Bを用いる。両面粘着テープ11Bは、可撓性を有する帯状の基材111と、基材111の両面にそれぞれ形成された粘着剤層112とで構成されている。

[0110] なお、基材111は、例えば、前記第2実施形態で挙げた固定用帯11Aの構成材料と同じものを用いることができる。また、粘着剤層112は、シリコーン系粘着剤で構成することができる。

[0111] このような構成の両面粘着テープ11Bにより、中空糸膜31を確実に固定することができる。

[0112] <第5実施形態>

図15は、本発明の熱交換器の製造方法（第5実施形態）で得られた母材における中空糸膜の固定状態を示す図である。

[0113] 以下、この図を参照して本発明の熱交換器の製造方法および熱交換器の第5実施形態について説明するが、前述した実施形態との相違点を中心に説明し、同様の事項はその説明を省略する。

[0114] 本実施形態は、中空糸膜に対する固定方法が異なること以外は前記第1実施形態と同様である。

[0115] 図15に示すように、本実施形態では、中空糸膜31の折り返し点312付近の固定は、次のように行なわれる。

[0116] まず、粘着剤130を吐出する吐出口131を有するノズル13を備えた装置を用意する。吐出口131を折り返し点312付近に向けて、吐出口131からの粘着剤130を塗布する。これにより、折り返し点312付近に粘着剤130が付与される。

[0117] その後、前記付与された粘着剤130を強制乾燥させるかまたは自然乾燥させることにより、中空糸膜31が固定される。

[0118] 以上、本発明の熱交換器の製造方法および熱交換器を図示の実施形態について説明したが、本発明は、これに限定されるものではなく、熱交換器の製

造方法は、任意の工程を付加させていてもよい。また、熱交換器を構成する各部は、同様の機能を発揮し得る任意の構成のものと置換することができる。また、任意の構成物が付加されていてもよい。

[0119] また、本発明の熱交換器の製造方法および熱交換器は、前記各実施形態のうちの、任意の2以上の構成（特徴）を組み合わせたものであってもよい。

[0120] また、人工肺部の中空糸膜層を構成する各中空糸膜と、熱交換部の中空糸膜層を構成する各中空糸膜とは、前記実施形態では同じものであったが、これに限定されず、例えば、一方（前者）の中空糸膜が他方（後者）の中空糸膜よりも細くてもよいし、双方の中空糸膜が互いに異なる材料で構成されていてもよい。

[0121] また、人工肺部と熱交換部とは、前記実施形態では熱交換部が内側に配置され、人工肺部が外側に配置されていたが、これに限定されず、人工肺部が内側に配置され、熱交換部が外側に配置されていてもよい。この場合、血液は、外側から内側に向かって流下する。

[0122] また、中空糸膜の折り返し部の固定には、前記第1実施形態から第5実施形態で述べた固定方法を組み合わせててもよい。

実施例

[0123] 以下、本発明の具体的な実施例について説明する。なお、本発明はこれに限定されるものではない。

[0124] 1. 人工肺としての人工心肺用熱交換器の作製
(実施例1)

図1～図5に示すような人工心肺用熱交換器を作製した。この人工心肺用熱交換器では、ハウジングは、ポリカーボネートで構成されている。ハウジングの内寸は、 $\phi 90 \times 80\text{ mm}$ であった。

[0125] 中空糸膜は、ポリエチレンで構成されている。中空糸膜の外径 ϕd_2 は、0.5mmであった。また、中空糸膜の巻回態様、傾斜角度 θ 、中空糸膜の一往復当たりの長さは、表1に示すとおりであった。

[0126] (実施例2)

中空糸膜の巻回態様、傾斜角度 θ 、中空糸膜の一往復当たりの長さを表1に示すとおりのものとした以外は、前記実施例1と同様にして、実施例2の人工心肺用熱交換器を得た。

[0127] (実施例3)

中空糸膜の巻回態様、傾斜角度 θ 、中空糸膜の一往復当たりの長さを表1に示すとおりのものとした以外は、前記実施例1と同様にして、実施例3の人工心肺用熱交換器を得た。

[0128] (比較例1)

中空糸膜の巻回態様を表1に示すとおりにすること以外は、前記実施例1と同様にして、比較例1の人工心肺用熱交換器の作製を試みた。しかしながら、中空糸膜に対するより強固な固定が必要となり中空糸膜が巻回されず、比較例1の人工心肺用熱交換器を作製するに至らなかった。

[0129] なお、比較例1の実現する場合、中空糸膜の巻回を可能にするために、予め縦糸等で中空糸膜を編む必要がある。この縦糸の存在は、血栓等の付着のおそれにつながる。

[0130] (比較例2)

中空糸膜の巻回態様、傾斜角度 θ 、中空糸膜の一往復当たりの長さを表1に示すとおりにすること以外は、前記実施例1と同様にして、比較例2の人工心肺用熱交換器を得た。

[0131] 2. 人工心肺用熱交換器の模擬的使用状態

実施例1～3および比較例2の人工心肺用熱交換器を、実際の血液体外循環回路と同様の血液体外循環回路中に設置して、模擬的にガス交換および熱交換を行なってみた。

[0132] 3. 評価

模擬的使用状態で、実施例1～3および比較例2の人工心肺用熱交換器について、JIS T 1704に規定に基づいた熱交換率と、人工心肺用熱交換器中に充填された血液の充填量（最大）と、中空糸膜層中の熱媒体（水）の圧力損失（最大）とを測定した。

[0133] さらに、実施例1～3および比較例2の人工心肺用熱交換器について、以下に示す評価基準1に従って、各人工心肺用熱交換器が実際の使用に適しているか否かを総合的に評価した。

[0134] ・評価基準1

◎：現存する人工心肺用熱交換器よりも非常に優れている。
○：

○：現存する人工心肺用熱交換器よりも優れている。

×：現存する人工心肺用熱交換器と同等か、または、それよりも劣る。

これらの評価結果1を表1に示す。

[0135] [表1]

表1

	比較例1	実施例1	実施例2	実施例3	比較例2
中空糸膜の巻回態様	0.45ワインド	0.60ワインド	0.75ワインド	0.80ワインド	1ワインド
傾斜角度(綾角)θ[°]	—	50.6～54.6	56.7～60.7	58.4～62.4	63.8～67.8
中空糸膜の一往復当たりの長さ[mm]	—	128	150	158	187
熱交換率[/m ²]	—	0.91	0.99	0.81	1.00
血液充填量[mL/m ²]	—	50.0	43.4	44.6	41
熱媒体の圧力損失[mmHg/m ²]	—	308.1	321.6	337.9	491
評価	作製不可(×)	○	◎	○	×

[0136] 表1から明らかなように、実施例1～3の中で実施例2の人工心肺用熱交換器が実際の使用に非常に適しており、次いで実施例1、3の人工心肺用熱交換器が実際の使用に適しているという結果となった。

[0137] また、図11～図15に示す中空糸膜層を備える人工心肺用熱交換器を作製し、前記と同様の評価を行なっても、その結果は、各実施例とほぼ同じとなつた。

[0138] 上記において、本発明について好適な実施形態を挙げて説明したが、本発明は前記実施形態に限定されるものではなく、本発明の要旨を逸脱しない範囲において、種々の改変が可能なことは言うまでもない。

産業上の利用可能性

[0139] 本発明の熱交換器の製造方法は、熱媒体が通過する中空部を有する多数本の中空糸膜で構成され、該多数本の中空糸膜を集積して、全体形状として円筒体の形状をなす母材から得られた中空糸膜層を備える熱交換器を製造する方法であって、前記各中空糸膜をそれぞれ前記円筒体の軸方向に沿わせつつ、前記円筒体の軸回りに巻回して、前記母材を得る巻回工程を有し、前記巻回工程では、前記各中空糸膜がそれぞれ前記円筒体の軸方向の一方側から他方側に向かい、該他方側で折り返して再度前記一方側に戻ってくる一往復の間に、当該中空糸膜を前記円筒体の軸回りに1周以上、2周未満の範囲内で巻回していく。そのため、熱交換率に優れ、その熱交換が行なわれる対象となる流体が中空糸膜同士の間を通過する際、当該流体の充填量を低減することができる。

従って、本発明の熱交換器の製造方法は、産業上の利用可能性を有する。

符号の説明

[0140]	1 0	人工肺
	1 0 A	人工肺部
	1 0 B	熱交換部
	2 A	ハウジング
	2 1 A	円筒状ハウジング本体
	2 2 A	第1の蓋体（左側蓋体）
	2 2 1 a	第1の部屋
	2 3 A	第2の蓋体（右側蓋体）
	2 3 1 a	第2の部屋
	2 4 A	血液流入側空間
	2 4 1	第1の円筒部材
	2 4 2	板片
	2 4 3	側孔
	2 4 4	凹凸部
	2 4 5	第2の円筒部材

- 25 A 血液流出側空間
26 ガス流入ポート
27 ガス流出ポート
28 血液流出ポート
291、292 リブ
201 血液流入ポート
202 热媒体流入ポート
203 热媒体流出ポート
3A、3B 中空糸膜層
3' 母材(一次母材)
3' ' 二次母材
31 中空糸膜
311 始点
312 折り返し点
313 終点
32 流路
33 血液流路
351 第1の切断線
352 第2の切断線
4A 気泡除去手段
41A フィルタ部材
8、9 隔壁
11 固定用糸
11A 固定用帶
11B 面粘着テープ
111 基材
112 粘着剤層
12 ドライヤ

1 2 1	排気口
1 3	ノズル
1 3 0	粘着剤
1 3 1	吐出口
5 0	ポッティング材
6 0	巻回装置
6 0 0	固定装置
6 0 1	筒状コア回転手段
6 0 2	ワインダ装置
6 0 3	モータ
6 0 4	モータシャフト
6 0 5	コア取付部材
6 0 6	本体部
6 0 7	リニアレール
6 0 8	リニアテーブル
6 0 9	ボールネジシャフト
7 0 3	モータ
7 0 4	ボールナット部材
7 0 5	吐出部
7 0 6	本体部
7 0 7	吐出部
8 0	切断装置
8 0 1	カッター（刃物）
B	血液
G	ガス
H	熱媒体
$\phi D_{1_{\max}}$	最大外径
ϕd_1	内径

ϕ d_2 外径
 L 長さ
 θ 傾斜角度（綾角）

請求の範囲

- [請求項1] 热媒体が通過する中空部を有する多数本の中空糸膜で構成され、該多数本の中空糸膜を集積して、全体形状として円筒体の形状をなす母材から得られた中空糸膜層を備える熱交換器を製造する方法であって、
前記各中空糸膜をそれぞれ前記円筒体の軸方向に沿わせつつ、前記円筒体の軸回りに巻回して、前記母材を得る巻回工程を有し、
前記巻回工程では、前記各中空糸膜がそれぞれ前記円筒体の軸方向の一方側から他方側に向かい、該他方側で折り返して再度前記一方側に戻ってくる一往復の間に、当該中空糸膜を前記円筒体の軸回りに1周以上、2周未満の範囲内で巻回していくことを特徴とする熱交換器の製造方法。
- [請求項2] 前記巻回工程では、下記式を満足するように前記中空糸膜を巻回する請求項1に記載の熱交換器の製造方法。
- [数1]
- トラバース [mm/rot.] × N = トラバース振り幅 × 2
±(中空糸膜の外径 + 隣接する中空糸膜同士の間隔) × 中空糸膜の総本数
(但し、式中、Nは、1 ≤ N < 2を満足する)
- [請求項3] 前記Nは、 $1 \leq N \leq 1.6$ を満足する請求項2に記載の熱交換器の製造方法。
- [請求項4] 前記往復は、複数回繰り返される請求項1ないし3のいずれか1項に記載の熱交換器の製造方法。
- [請求項5] 前記巻回工程では、前記各中空糸膜が前記他方側で折り返す際に、その折り返し部を固定する請求項1ないし4のいずれか1項に記載の熱交換器の製造方法。
- [請求項6] 前記折り返し部の固定には、可撓性を有する線状体または帯状体により前記折り返し部を押さえ付けて固定する方法、前記折り返し部を加熱溶融して固定する方法、粘着剤により固定する方法のうちの少なくとも1つの方法を用いる請求項5に記載の熱交換器の製造方法。

- [請求項7] 前記母材の両端部をそれぞれ切斷して、前記中空糸膜層を得る切斷工程を有し、
前記母材の両端部には、前記巻回工程で固定された前記折り返し部が含まれており、
前記切斷工程では、前記母材から前記折り返し部が除去される請求項5または6に記載の熱交換器の製造方法。
- [請求項8] 前記中空糸膜は、ポリオレフィン系樹脂で構成されている請求項1ないし7のいずれか1項に記載の熱交換器の製造方法。
- [請求項9] 前記中空糸膜は、その外径が1mm以下のものである請求項1ないし8のいずれか1項に記載の熱交換器の製造方法。
- [請求項10] 請求項1ないし9のいずれか1項に記載の熱交換器の製造方法によって製造されたことを特徴とする熱交換器。

[図1]

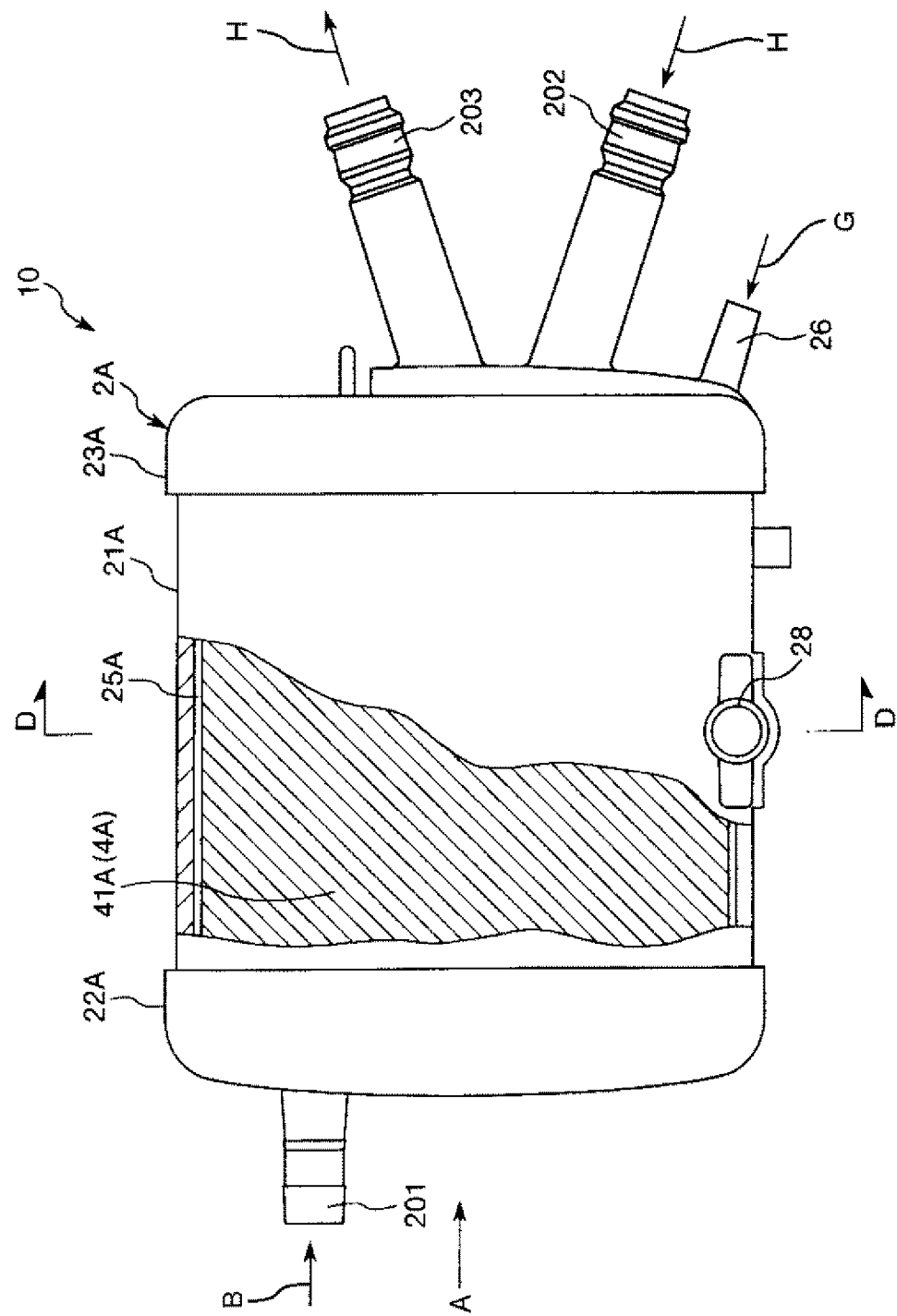


FIG. 1

[図2]

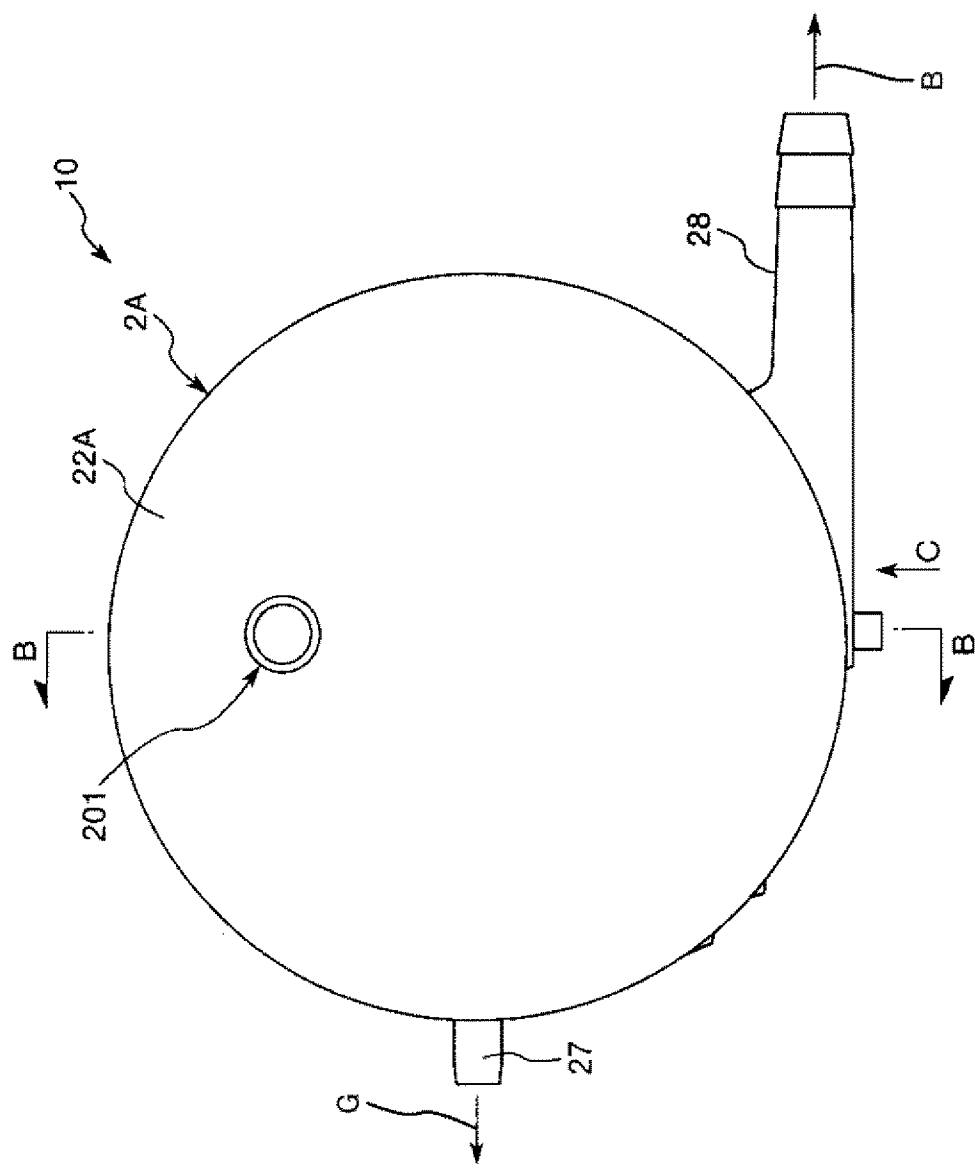


FIG.2

[図3]

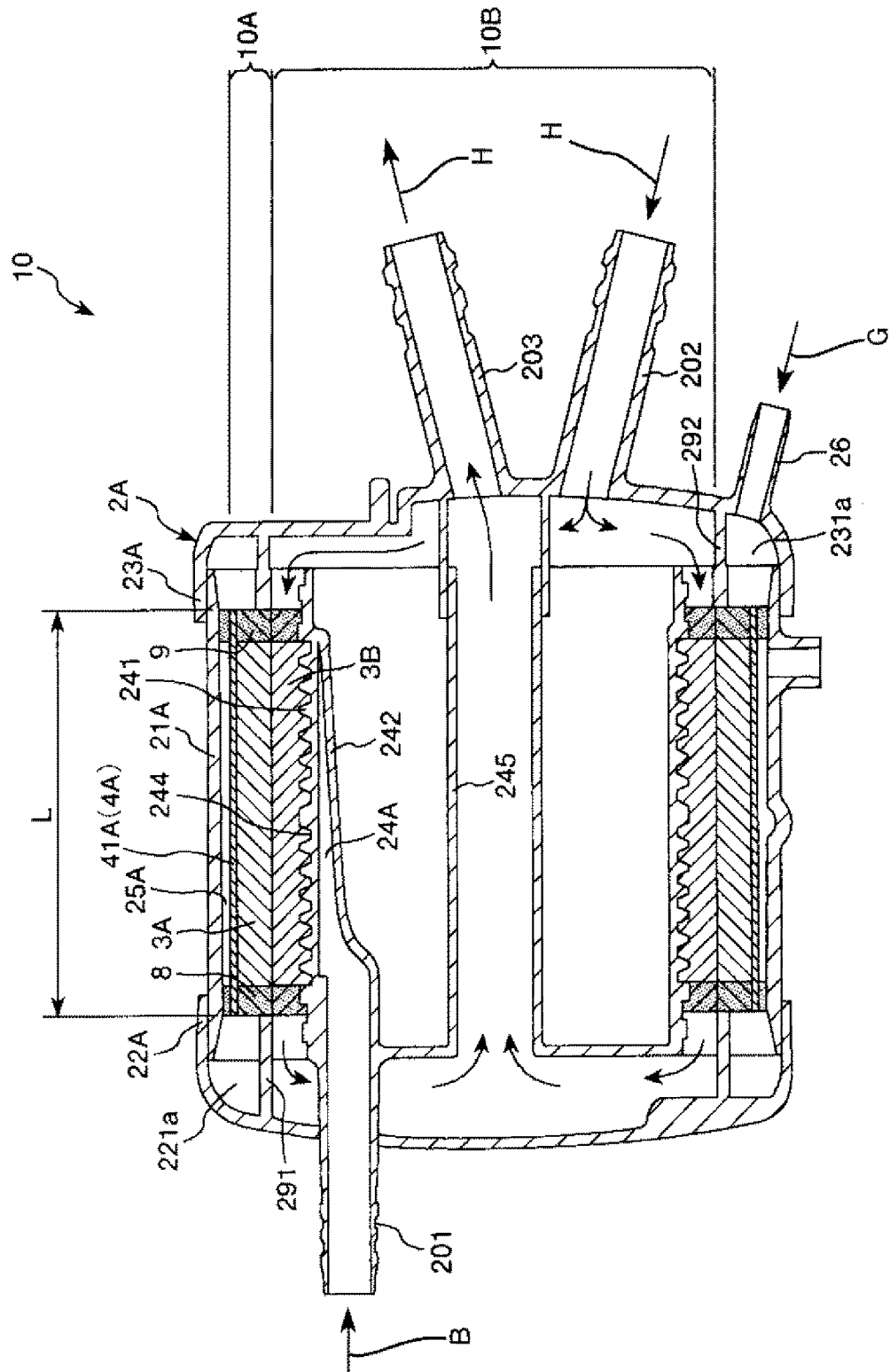


FIG.3

[図4]

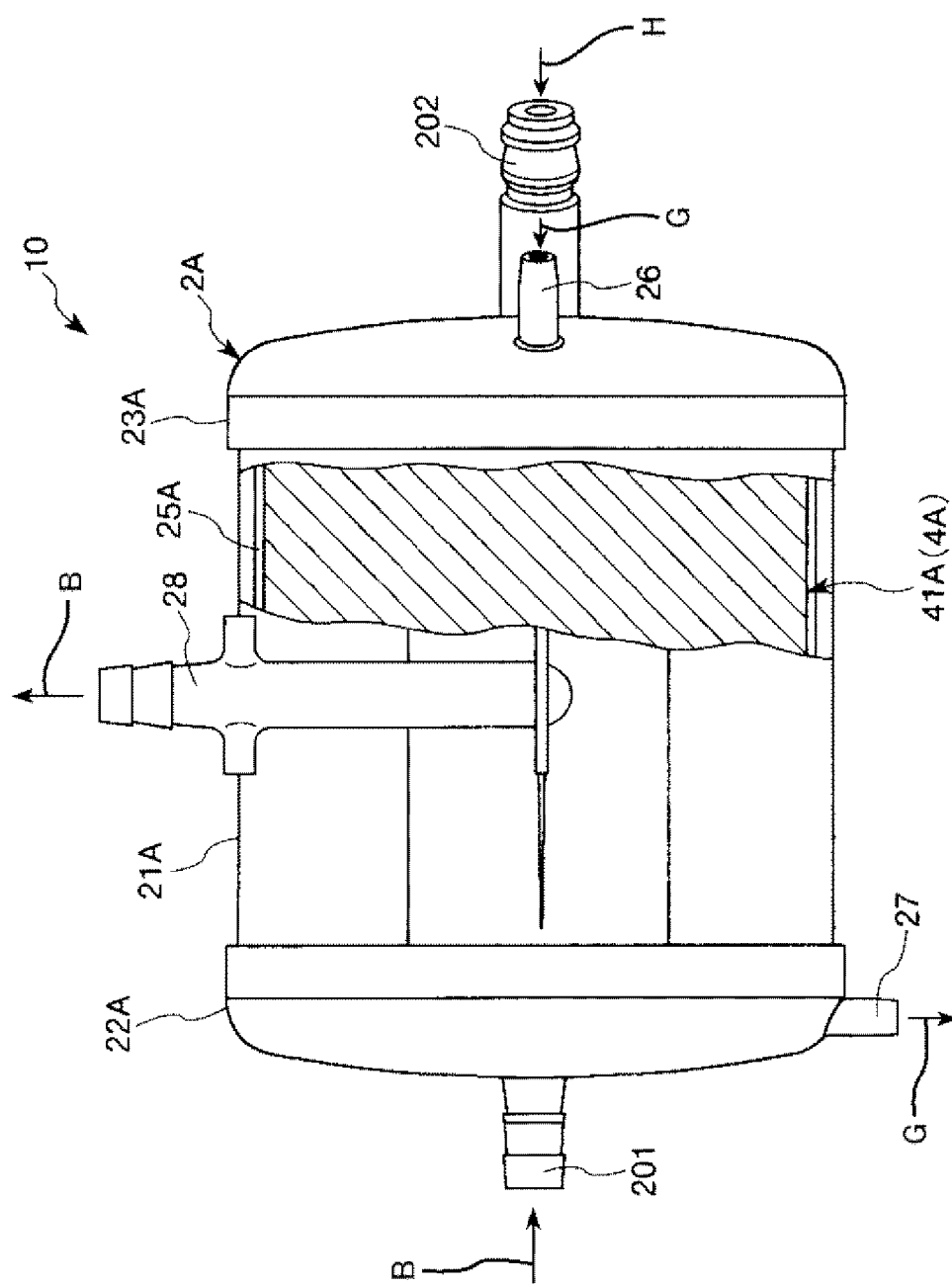


FIG.4

[図5]

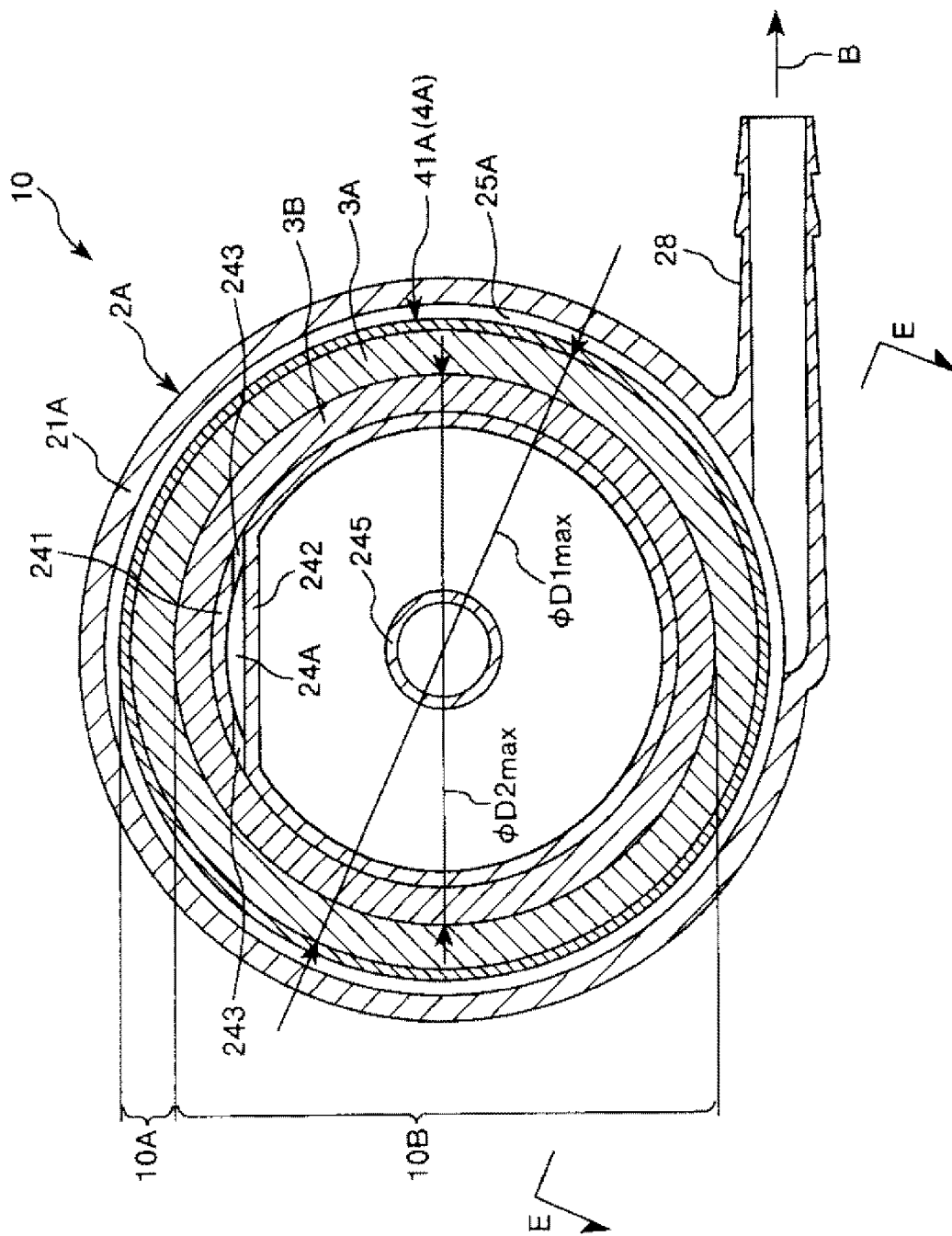


FIG.5

[図6]

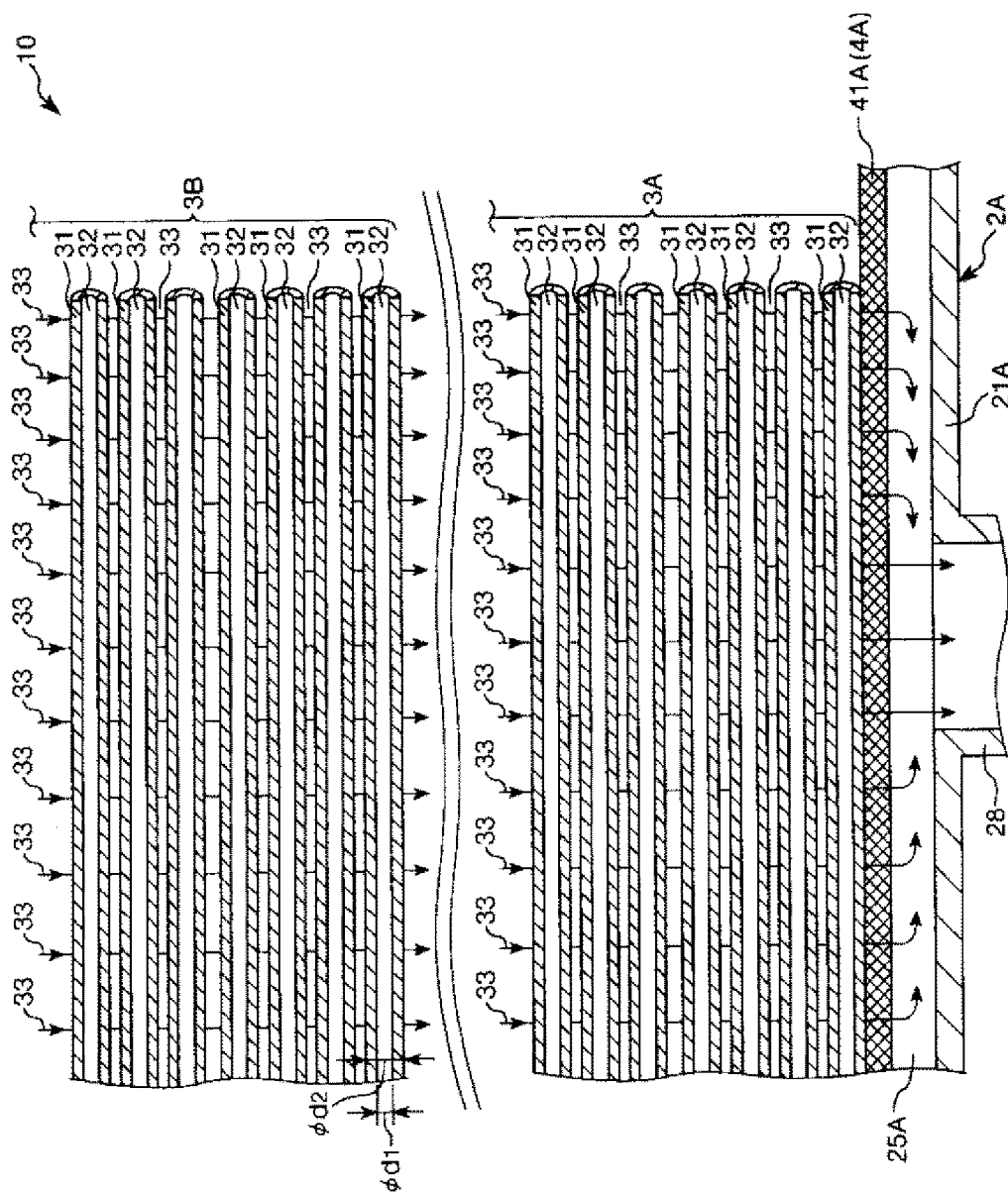


FIG. 6

[図7]

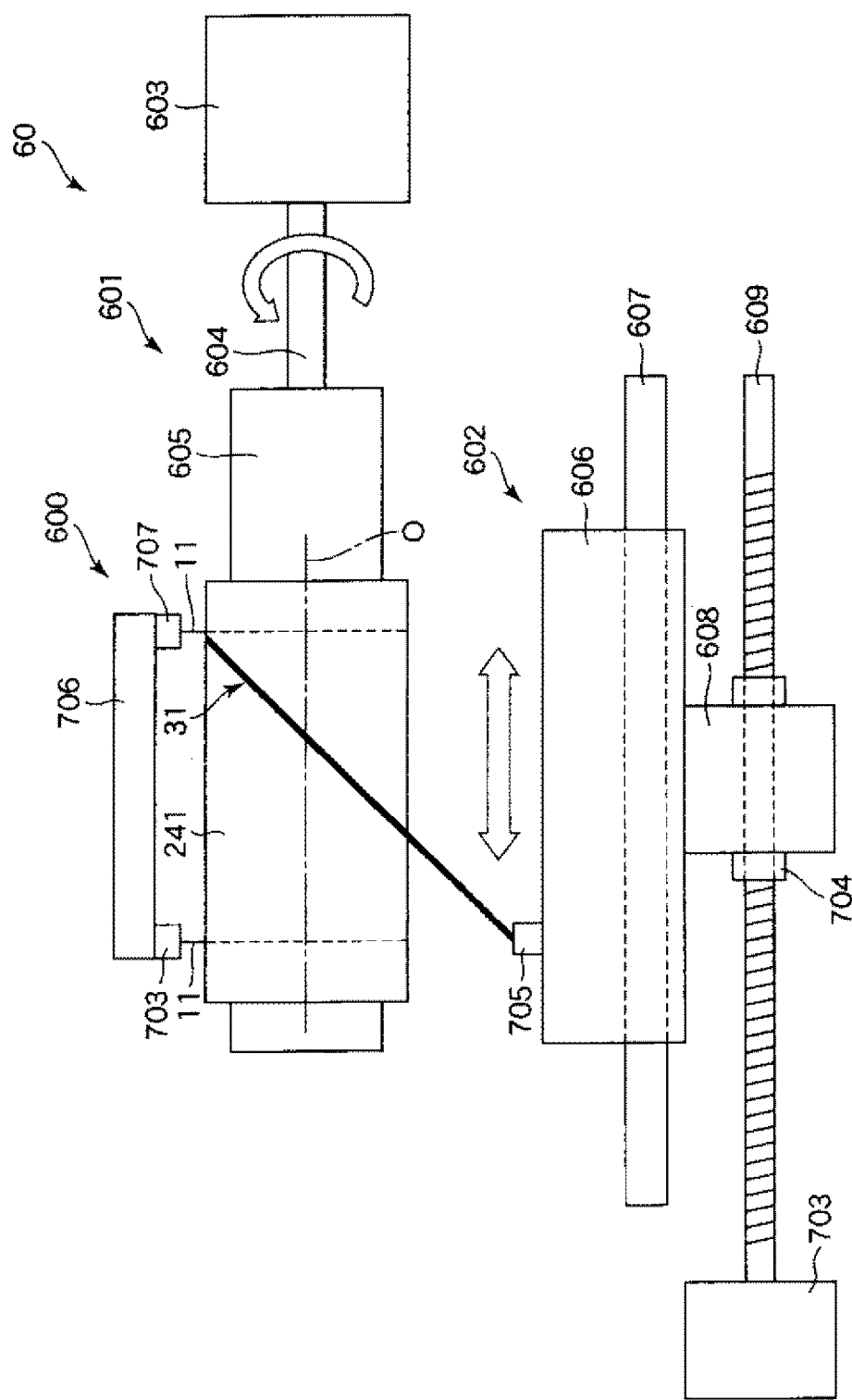


FIG.7

[図8]

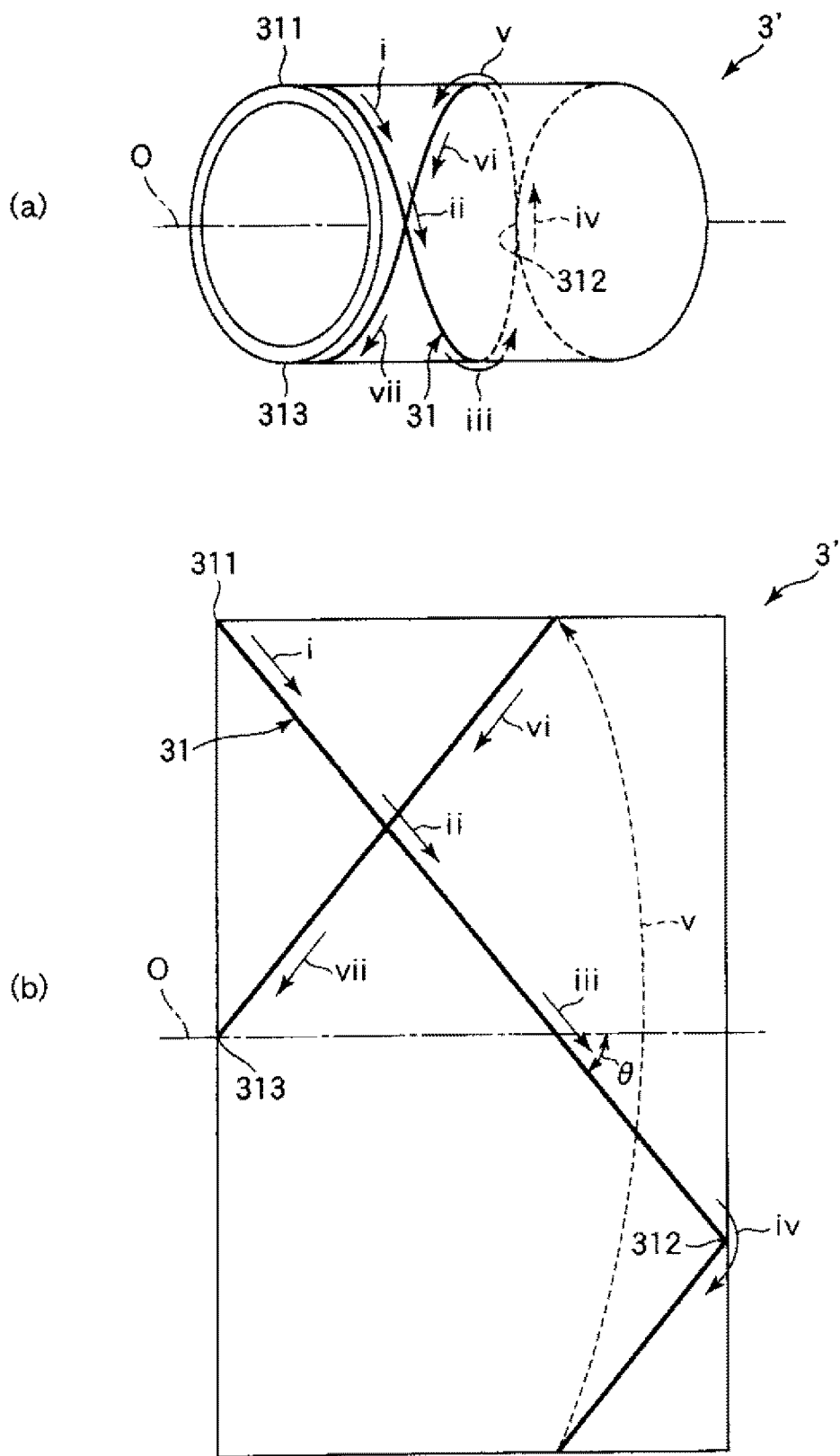


FIG.8

[図9]

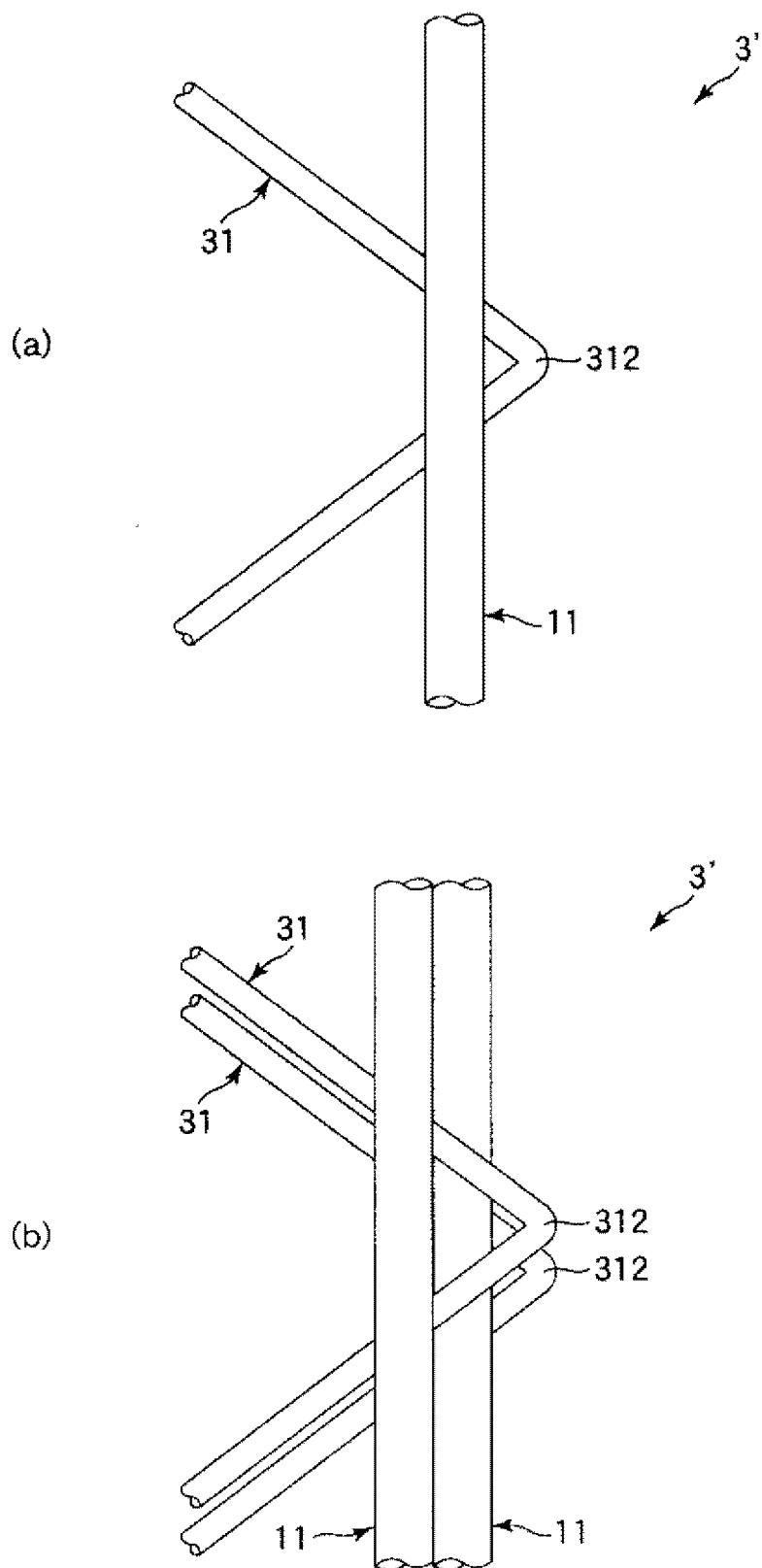


FIG.9

[図10]

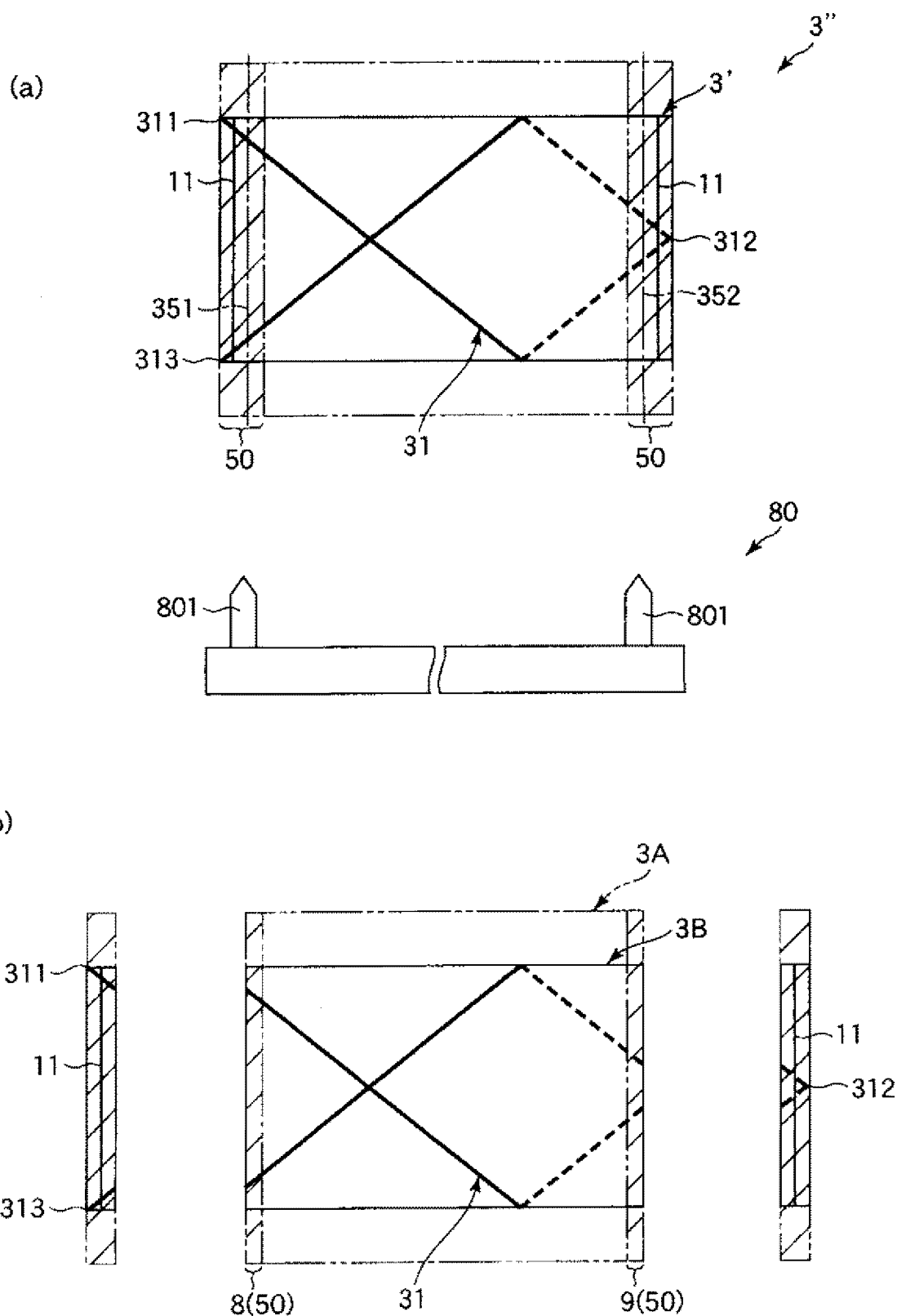


FIG.10

[図11]

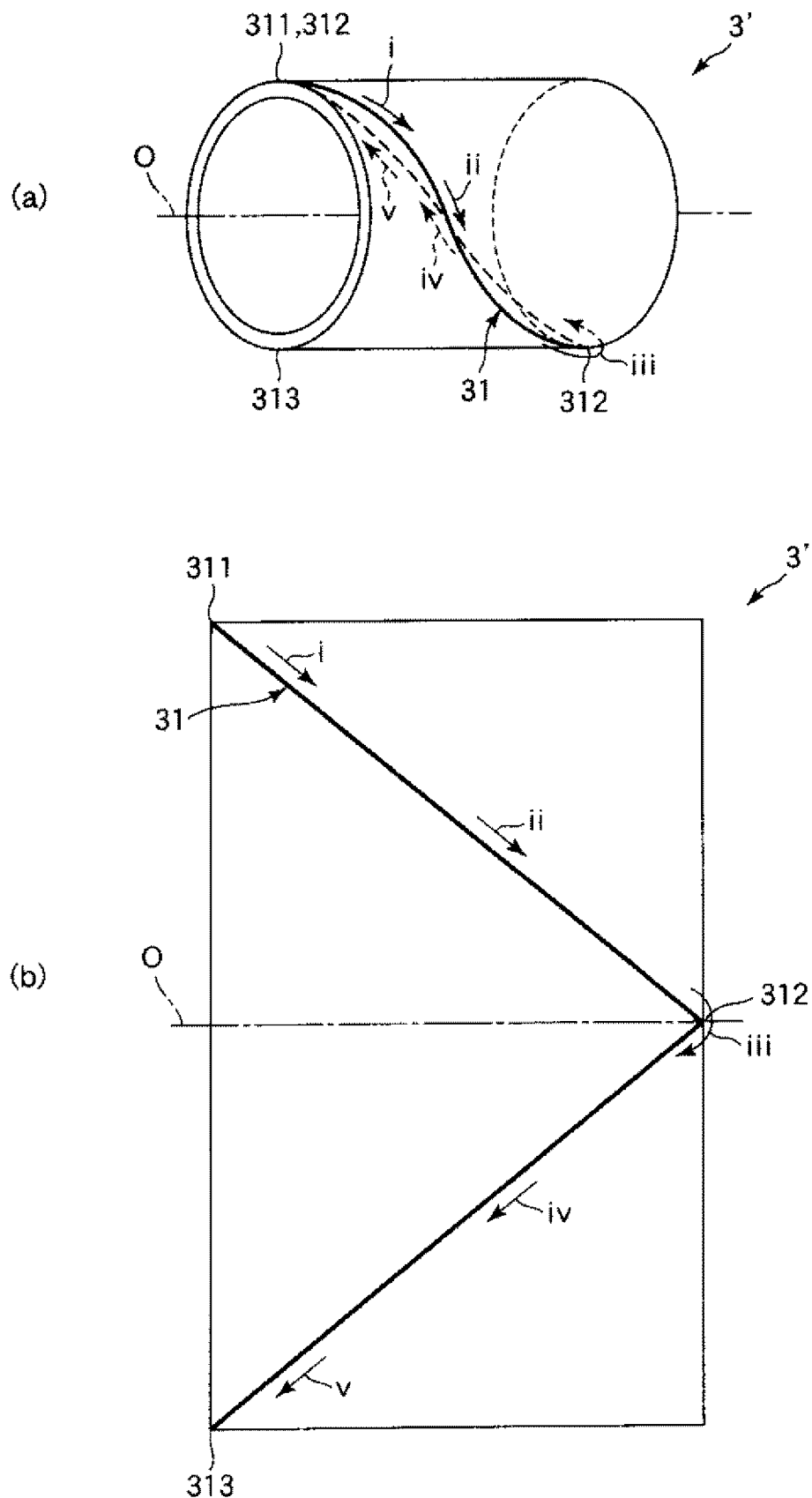


FIG.11

[図12]

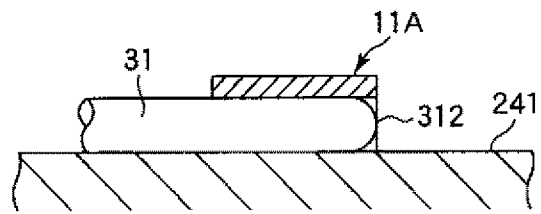


FIG.12

[図13]

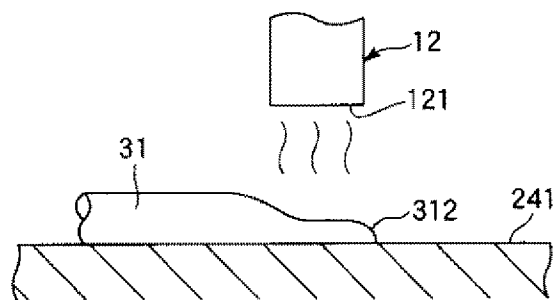


FIG.13

[図14]

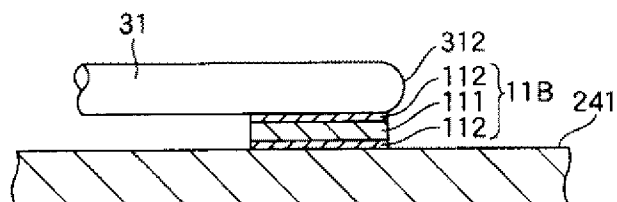


FIG.14

[図15]

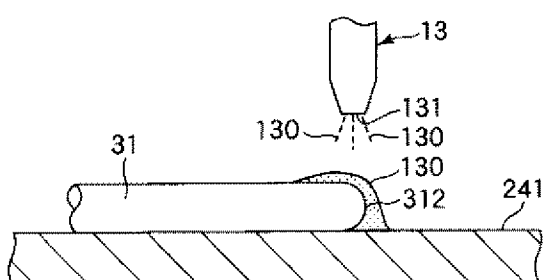


FIG.15

[図16]

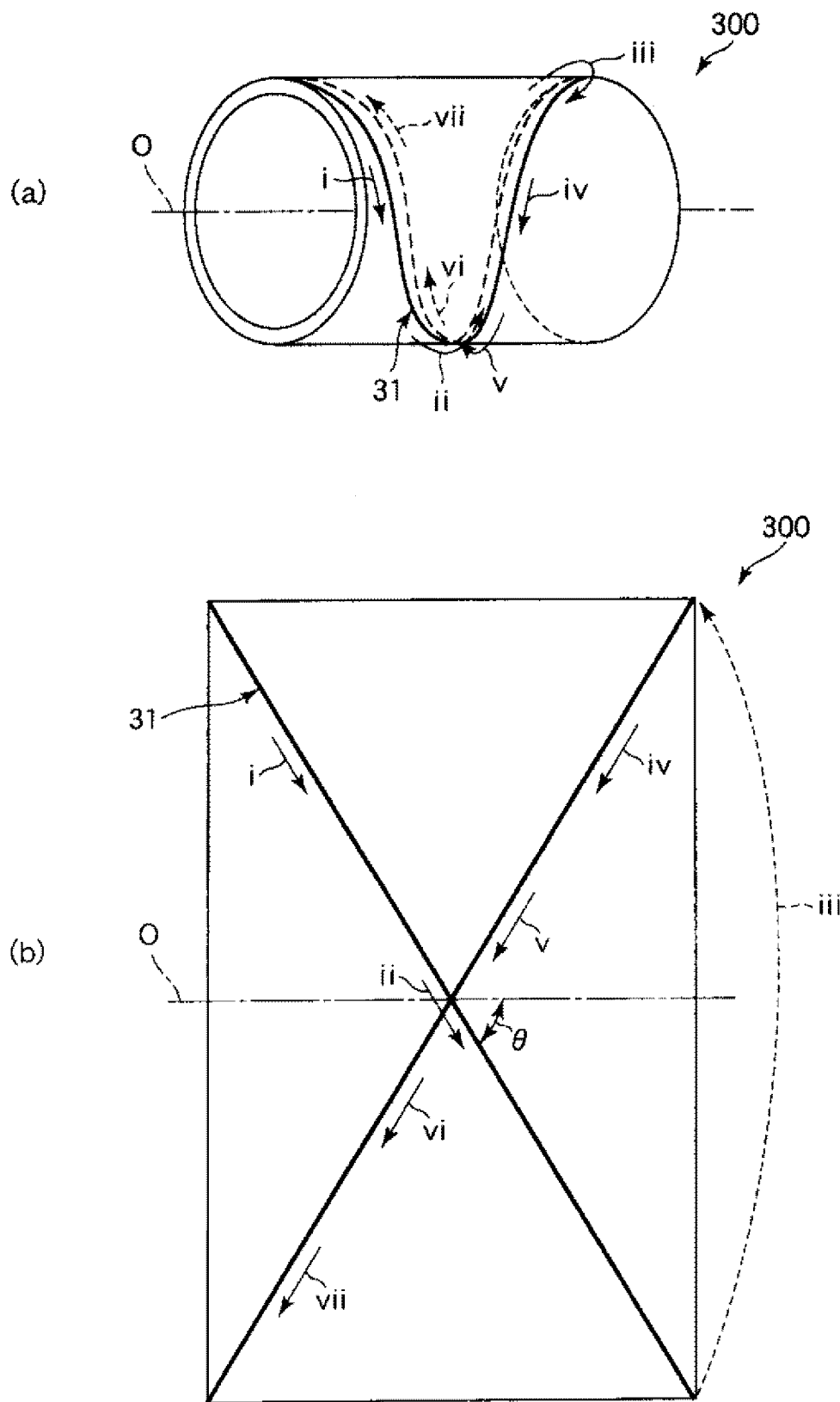


FIG.16

INTERNATIONAL SEARCH REPORT

International application No.

PCT/JP2015/050244

A. CLASSIFICATION OF SUBJECT MATTER

*A61M1/36(2006.01)i, A61M1/18(2006.01)i, F28D7/10(2006.01)i, F28F21/06
(2006.01)i*

According to International Patent Classification (IPC) or to both national classification and IPC

B. FIELDS SEARCHED

Minimum documentation searched (classification system followed by classification symbols)

A61M1/36, A61M1/18, F28D7/10, F28F21/06

Documentation searched other than minimum documentation to the extent that such documents are included in the fields searched

Jitsuyo Shinan Koho	1922-1996	Jitsuyo Shinan Toroku Koho	1996-2015
Kokai Jitsuyo Shinan Koho	1971-2015	Toroku Jitsuyo Shinan Koho	1994-2015

Electronic data base consulted during the international search (name of data base and, where practicable, search terms used)

C. DOCUMENTS CONSIDERED TO BE RELEVANT

Category*	Citation of document, with indication, where appropriate, of the relevant passages	Relevant to claim No.
X Y	WO 2013/146321 A1 (Terumo Corp.), 03 October 2013 (03.10.2013), paragraphs [0035], [0039], [0091], [0100] to [0103]; fig. 14 & US 2015/0010433 A1 paragraphs [0065], [0076], [0183] to [0184], [0208] to [0215]; fig. 14 & EP 2832387 A1	1, 4-10 2-3

Further documents are listed in the continuation of Box C.

See patent family annex.

* Special categories of cited documents:

"A" document defining the general state of the art which is not considered to be of particular relevance

"E" earlier application or patent but published on or after the international filing date

"L" document which may throw doubts on priority claim(s) or which is cited to establish the publication date of another citation or other special reason (as specified)

"O" document referring to an oral disclosure, use, exhibition or other means

"P" document published prior to the international filing date but later than the priority date claimed

"T" later document published after the international filing date or priority date and not in conflict with the application but cited to understand the principle or theory underlying the invention

"X" document of particular relevance; the claimed invention cannot be considered novel or cannot be considered to involve an inventive step when the document is taken alone

"Y" document of particular relevance; the claimed invention cannot be considered to involve an inventive step when the document is combined with one or more other such documents, such combination being obvious to a person skilled in the art

"&" document member of the same patent family

Date of the actual completion of the international search
24 March 2015 (24.03.15)

Date of mailing of the international search report
07 April 2015 (07.04.15)

Name and mailing address of the ISA/
Japan Patent Office
3-4-3, Kasumigaseki, Chiyoda-ku,
Tokyo 100-8915, Japan

Authorized officer

Telephone No.

INTERNATIONAL SEARCH REPORT

International application No. PCT/JP2015/050244
--

C (Continuation). DOCUMENTS CONSIDERED TO BE RELEVANT

Category*	Citation of document, with indication, where appropriate, of the relevant passages	Relevant to claim No.
X	JP 05-214608 A (Akzo N.V.), 24 August 1993 (24.08.1993), paragraphs [0014], [0017], [0027], [0030], [0035]; fig. 1 & US 5261981 A column 4, lines 5 to 26; column 6, line 25 to column 7, line 28; column 10, lines 24 to 41; fig. 1 & EP 530670 A1 & DE 4129400 A1	1, 4-10
Y	JP 2002-369883 A (Terumo Corp.), 24 December 2002 (24.12.2002), claim 5 (Family: none)	2-3
A	WO 2013/146277 A1 (Terumo Corp.), 03 October 2013 (03.10.2013), fig. 8 to 9 & US 2015/0010434 A1 & EP 2832385 A1	1-10
A	WO 2012/148754 A1 (MEDTRONIC INC.), 01 November 2012 (01.11.2012), entire text; all drawings & JP 2014-518686 A & US 2012/0277653 A1	1-10
P,A	WO 2015/020197 A1 (Toyobo Co., Ltd.), 12 February 2015 (12.02.2015), claim 1 (Family: none)	1-10

A. 発明の属する分野の分類（国際特許分類（IPC））

Int.Cl. A61M1/36(2006.01)i, A61M1/18(2006.01)i, F28D7/10(2006.01)i, F28F21/06(2006.01)i

B. 調査を行った分野

調査を行った最小限資料（国際特許分類（IPC））

Int.Cl. A61M1/36, A61M1/18, F28D7/10, F28F21/06

最小限資料以外の資料で調査を行った分野に含まれるもの

日本国実用新案公報	1922-1996年
日本国公開実用新案公報	1971-2015年
日本国実用新案登録公報	1996-2015年
日本国登録実用新案公報	1994-2015年

国際調査で使用した電子データベース（データベースの名称、調査に使用した用語）

C. 関連すると認められる文献

引用文献の カテゴリー*	引用文献名 及び一部の箇所が関連するときは、その関連する箇所の表示	関連する 請求項の番号
X	WO 2013/146321 A1 (テルモ株式会社)	1, 4-10
Y	2013.10.03, 段落[0035], [0039], [0091], [0100]-[0103], 第14図 & US 2015/0010433 A1, 段落[0065], [0076], [0183]-[0184], [0208]-[0215], 第14図 & EP 2832387 A1	2-3
X	JP 05-214608 A (アクゾ ナムローゼ フェンノートシャッブ) 1993.08.24, 段落[0014], [0017], [0027], [0030], [0035], 第1	1, 4-10

 C欄の続きにも文献が列挙されている。 パテントファミリーに関する別紙を参照。

* 引用文献のカテゴリー

- 「A」特に関連のある文献ではなく、一般的技術水準を示すもの
- 「E」国際出願日前の出願または特許であるが、国際出願日以後に公表されたもの
- 「L」優先権主張に疑義を提起する文献又は他の文献の発行日若しくは他の特別な理由を確立するために引用する文献（理由を付す）
- 「O」口頭による開示、使用、展示等に言及する文献
- 「P」国際出願日前で、かつ優先権の主張の基礎となる出願

の日の後に公表された文献

- 「T」国際出願日又は優先日後に公表された文献であって出願と矛盾するものではなく、発明の原理又は理論の理解のために引用するもの
- 「X」特に関連のある文献であって、当該文献のみで発明の新規性又は進歩性がないと考えられるもの
- 「Y」特に関連のある文献であって、当該文献と他の1以上の文献との、当業者にとって自明である組合せによって進歩性がないと考えられるもの
- 「&」同一パテントファミリー文献

国際調査を完了した日

24.03.2015

国際調査報告の発送日

07.04.2015

国際調査機関の名称及びあて先

日本国特許庁 (ISA/JP)

郵便番号100-8915

東京都千代田区霞が関三丁目4番3号

特許庁審査官（権限のある職員）

31 4138

川島 徹

電話番号 03-3581-1101 内線 3386

C (続き) . 関連すると認められる文献		
引用文献の カテゴリー*	引用文献名 及び一部の箇所が関連するときは、その関連する箇所の表示	関連する 請求項の番号
	図 & US 5261981 A , 第 4 欄 5-26 行, 第 6 欄 25 行-第 7 欄 28 行, 第 10 欄 24-41 行, 第 1 図 & EP 530670 A1 & DE 4129400 A1	
Y	JP 2002-369883 A (テルモ株式会社) 2002.12.24, 請求項 5 (ファミリーなし)	2-3
A	WO 2013/146277 A1 (テルモ株式会社) 2013.10.03, 第 8-9 図 & US 2015/0010434 A1 & EP 2832385 A1	1-10
A	WO 2012/148754 A1 (MEDTRONIC INC.) 2012.11.01, 全文, 全図 & JP 2014-518686 A & US 2012/0277653 A1	1-10
P, A	WO 2015/020197 A1 (東洋紡株式会社) 2015.02.12, 請求項 1 (ファミリーなし)	1-10